第4回

光変復調技術 (強度変調·位相変調)

講義スケジュール(1)

植之原	日付	教科書	内容
第1回	11/30	OCW-i掲載資料(第1 回)の精読と理解	光通信システム(基礎・長距離基幹系)
第2回	12/4	OCW-i掲載資料(第 2回)の精読と理解	光通信システム (メトロ・アクセス・LAN・インターコネクション)
第3回	12/7	OCW-i掲載資料(第3回) の精読・PN符号の説明	光変調符号
第4回	12/11	OCW-i掲載資料(第4回) の精読・信号の数式・スペク トル表現	光変復調技術(強度変調・位相変調)
第5回	12/14	OCW-i掲載資料(第5回) の精読・機能ブロックの理 解	光変復調技術 (デジタル・コヒーレント関連技術)
第6回	12/18	OCW-i掲載資料(第6回) の精読・波動方程式の解 法	光ファイバのモード特性(波動方程式)
第7回	12/21	OCW-i掲載資料(第7 回)の精読・モードおよび 偏波状態の理解	光ファイバのモード特性(偏波)
第8回	12/ 25	OCW-i掲載資料(第8回) の精読・分散と帯域の関 係式	ファイバの伝送特性(分散による伝送限界)

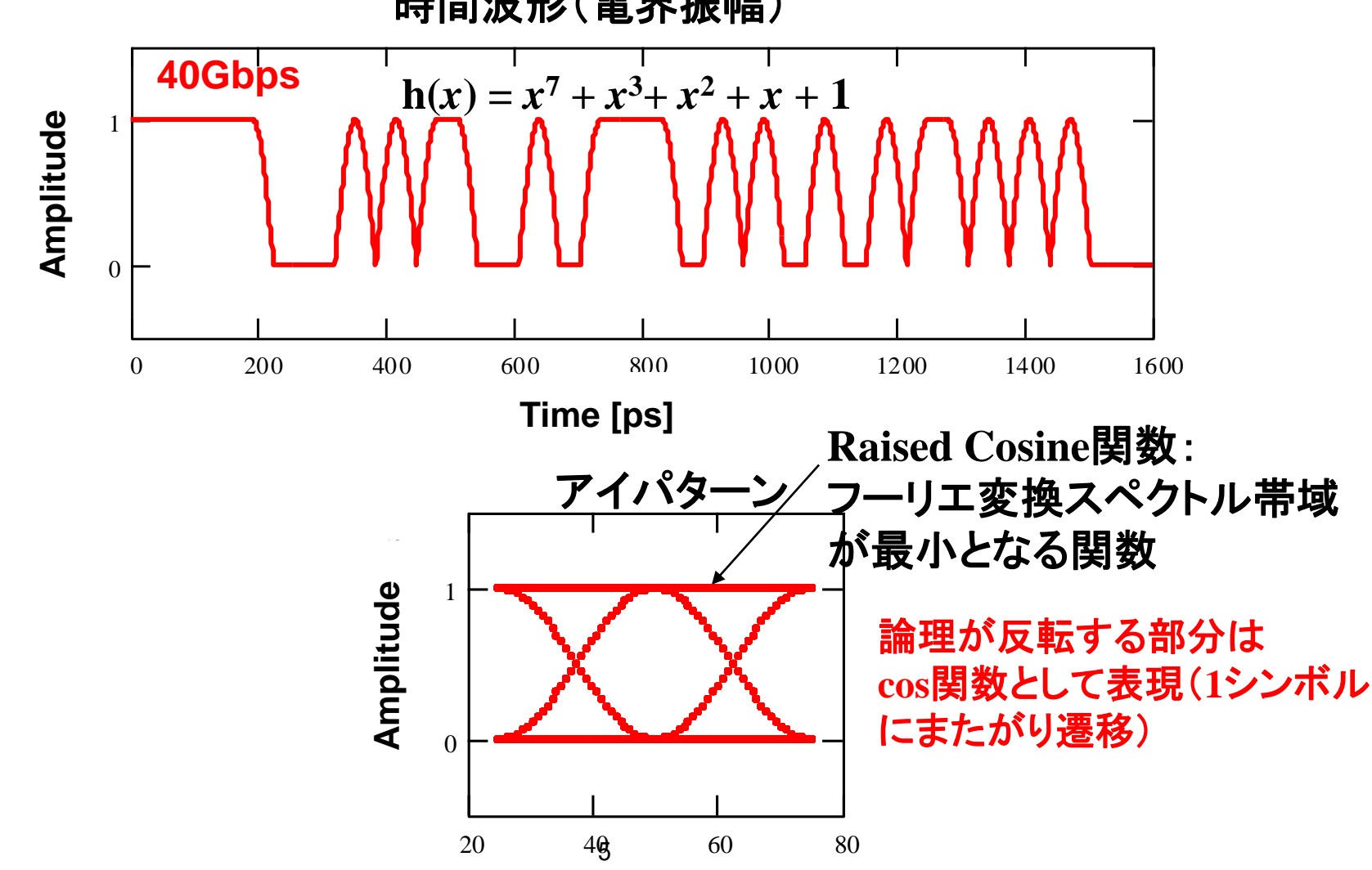
講義スケジュール(2)

小山	日付	教科書	内容
第9回	1/11	OCW-i掲載資料(第9回) の精読・分散補償の概念 の理解	ファイバの伝送特性(分散補償技術)
第10回	1/15	OCW-i掲載資料(第10 回)の精読・動作原理の 説明	光増幅器
第11回	1/18	OCW-i掲載資料(第11 回)の精読・ビット誤り率 の計算	ビット誤り率(強度変調・直接検波)
第12回	1/22	OCW-i掲載資料(第12回)の精読・ビット誤り率の 相対比較	ビット誤り率 (コヒーレント、多値変調、光増幅)
第13回	1/25	OCW-i掲載資料(第13回)の精読・WDMの性能 的課題	波長多重(WDM)伝送 (分散マネジメント技術)
第14回	1/29	OCW-i掲載資料(第14 回)の精読・WDMの変調 方式による性能差の理解	波長多重(WDM)伝送(変調技術)
第15回	2/1	OCW-i掲載資料(第 15回)の精読・理解	光スイッチング技術・ 最新の光通信関連技術

変調方式と光スペクトル

計算の参考: 『Mathcadによる光システムの基礎』 小関 健, 原田一成 共著, 森北出版 第3回資料14~17~~シを参照して計算。

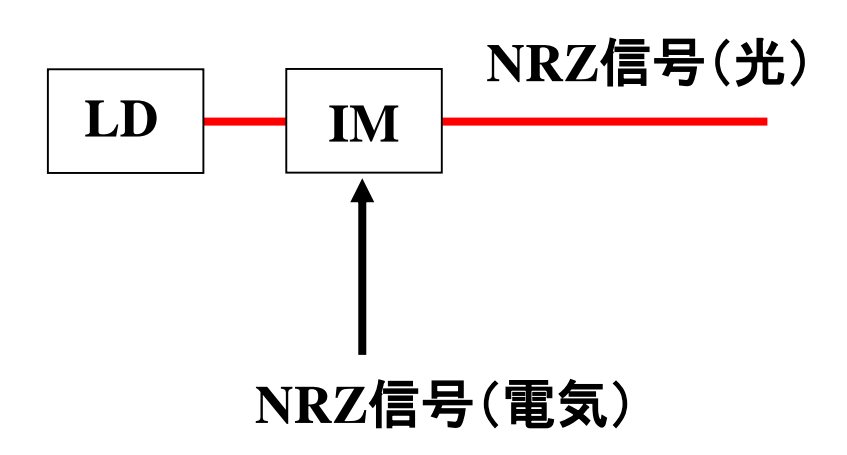
時間波形(電界振幅)



Time (ps)

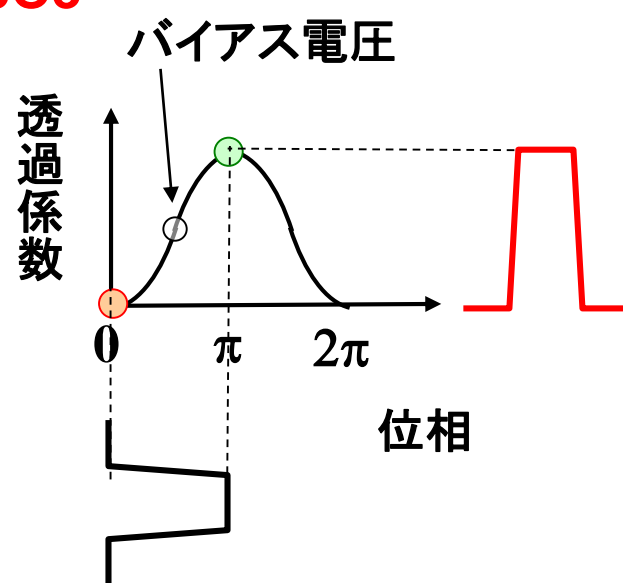
NRZ-OOK符号(符号長7のM系列)(2)

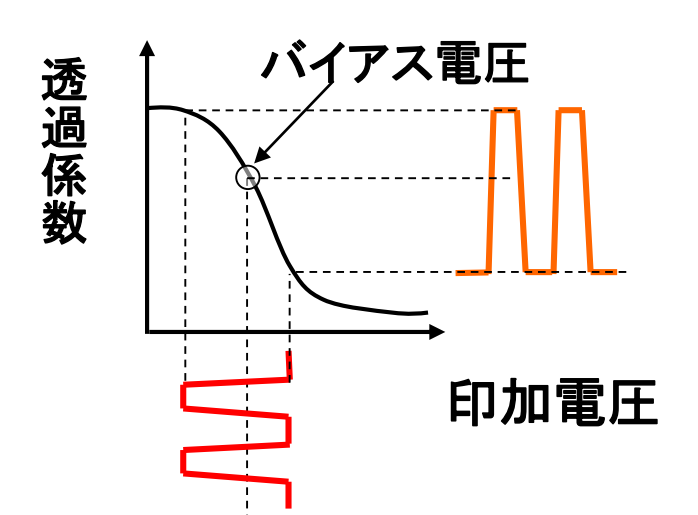
送信器構成



IM: Intensity Modulator (強度変調器)

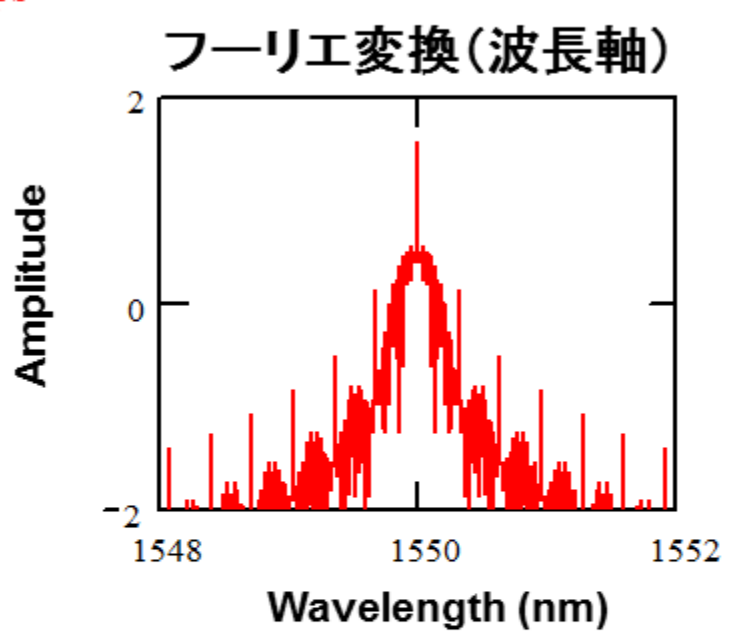
LiNbO3

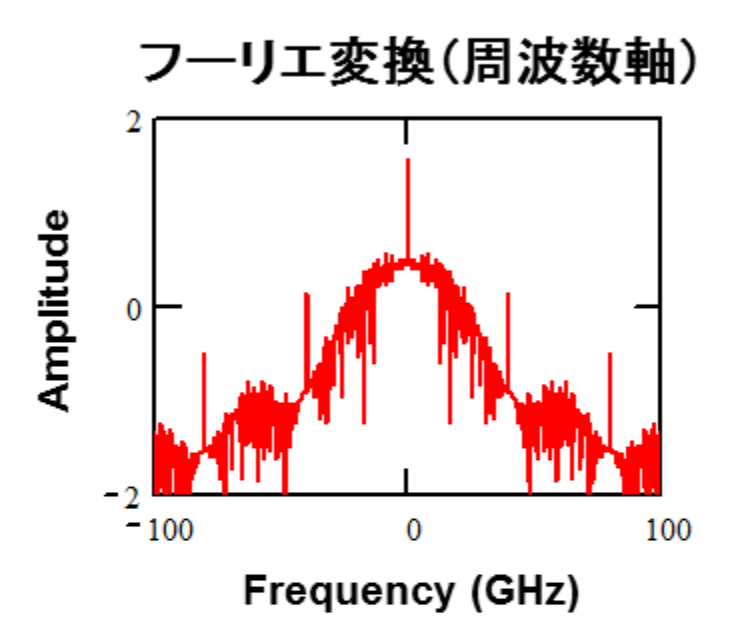




40Gbps

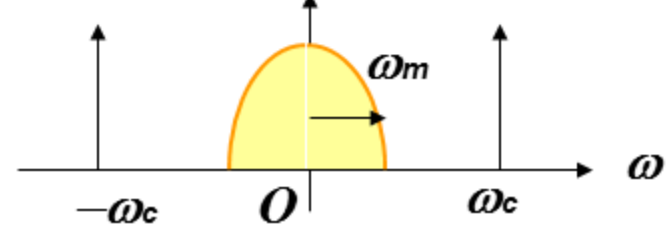
波形の数式をFFT解析で導出



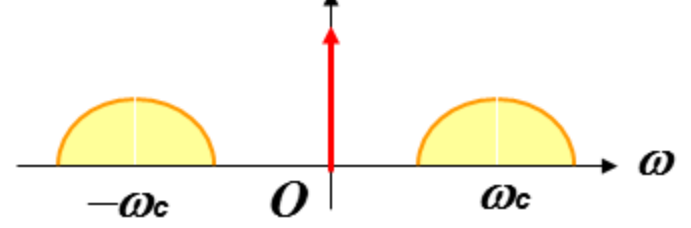


$$s(t) = \underbrace{\left(1 + A_m \cos \omega_m t\right) A_c \cos \omega_c t} = A_c \cos \omega_c t + \underbrace{\frac{A_m A_c}{2}}_{F[s(t)]} \underbrace{\left[\cos\left(\omega_c + \omega_m\right) t + \cos\left(\omega_c - \omega_m\right) t\right]}_{F[s(t)]}$$
強度変調項 搬送波

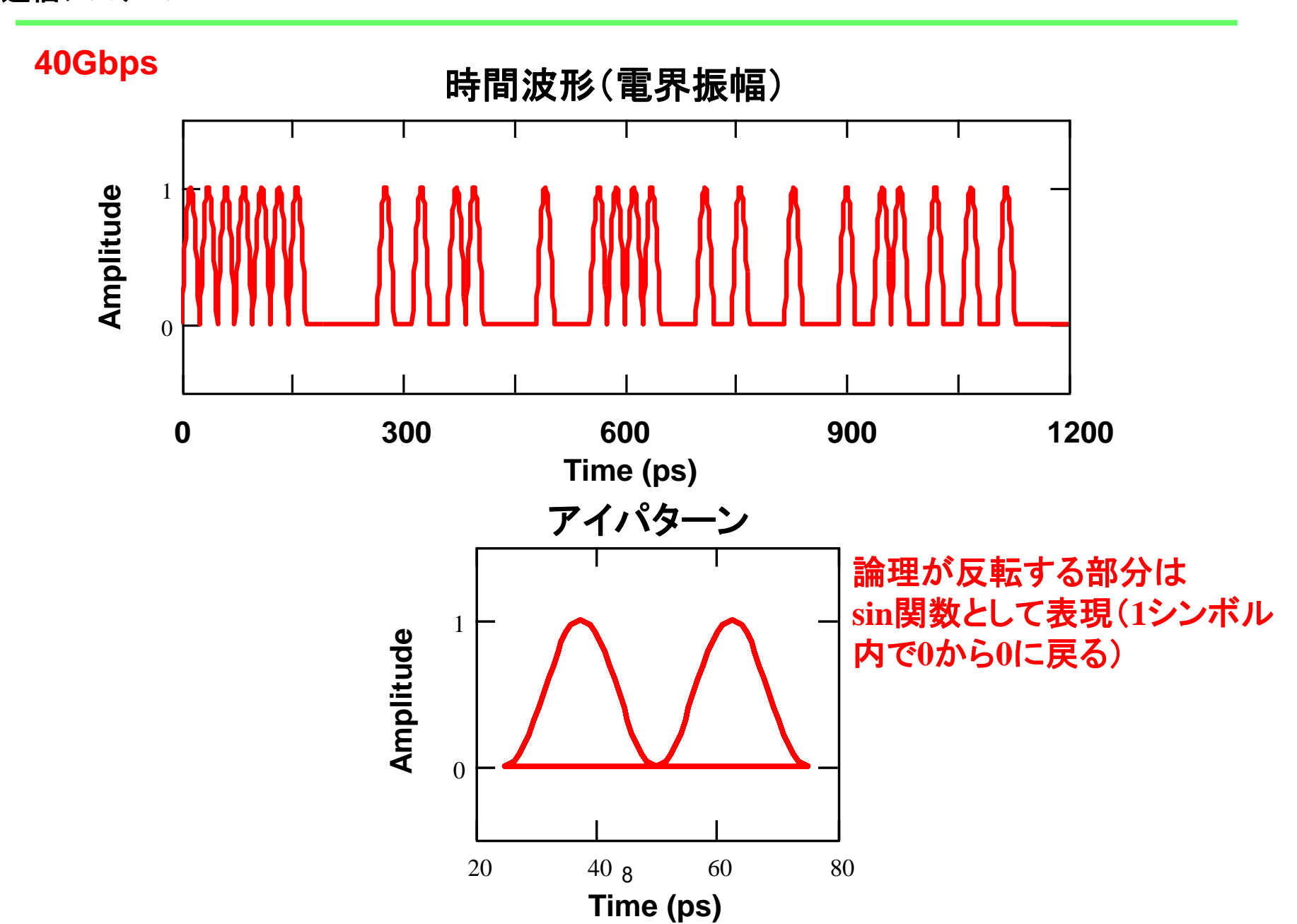
$$+ \underbrace{\frac{A_m A_c}{2}}_{\Phi} \left[\delta(\omega - \omega_c - \omega_m) + \delta(\omega + \omega_c + \omega_m) + \delta(\omega - \omega_c + \omega_m) + \delta(\omega - \omega_c + \omega_m)\right]$$





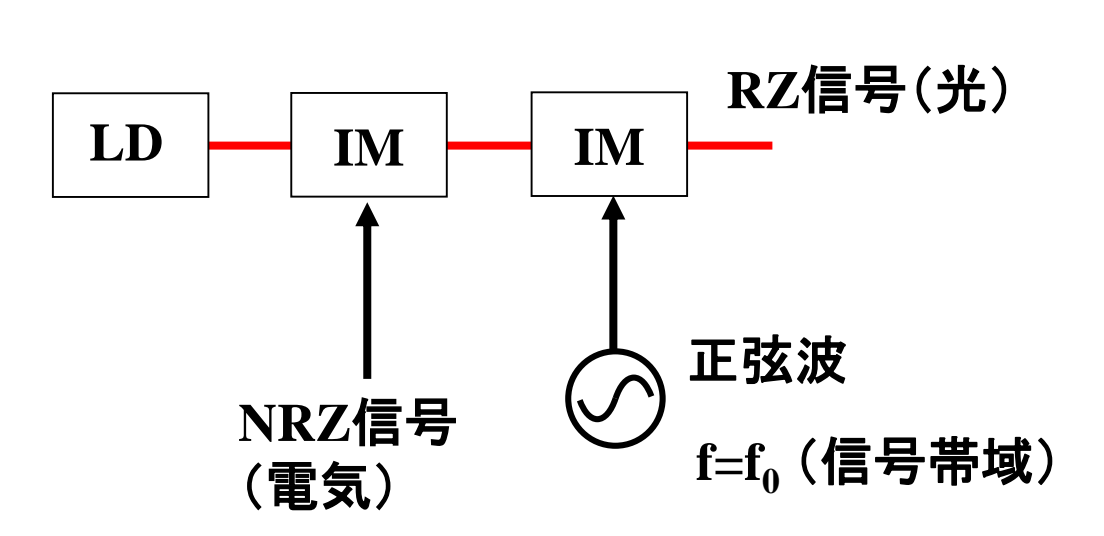


RZ-Binary符号(符号長7のM系列)(1)

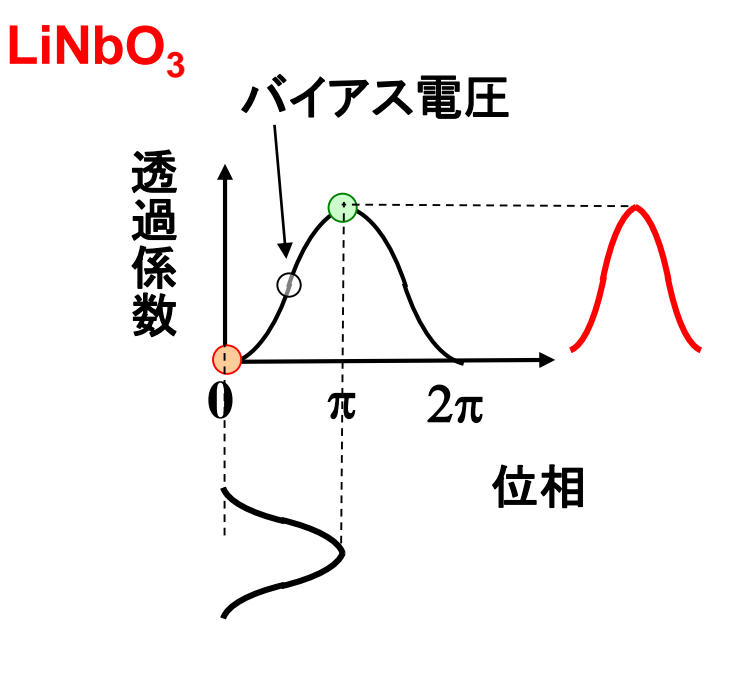


RZ-OOK符号(符号長7のM系列)(2)

送信器構成



IM: Intensity Modulator (強度変調器)



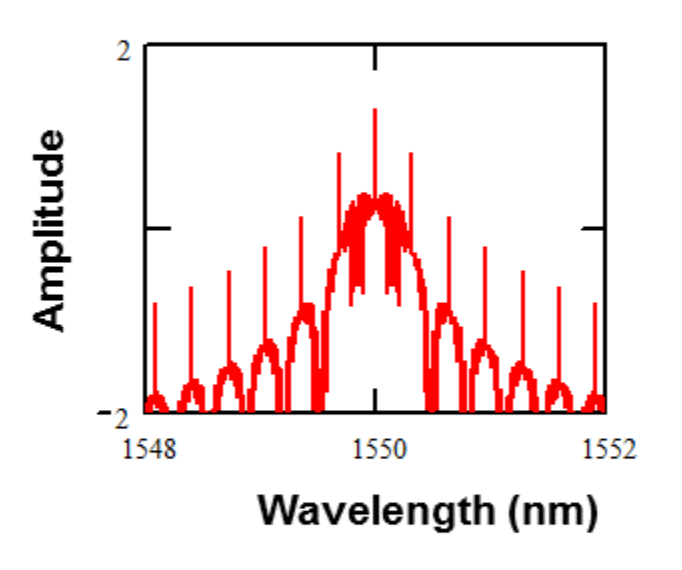
RZ-OOK符号(符号長NのM系列)

たとえば N次M系列を2元符号とし、1シンボルで正弦波状に 電界強度が変化する場合を数式表現する。

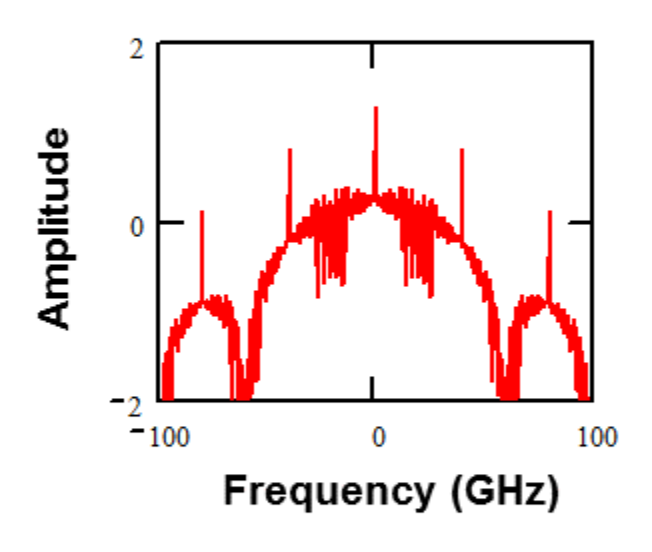
$$\begin{split} RZrcos_data\;(N,n) &:= & tmp \leftarrow Mseq\,(N) \\ tmp_{2}^{N} \leftarrow tmp_{0} \\ for \;\; i \in 0...\,2^{N}-1 \\ & | \;\; for \;\; j \in 0...\,n-1 \;\;\; if \;\; tmp_{i} = 0 \\ & \;\;\; data_{i\cdot n+j} \leftarrow 0 \\ & \;\;\; for \;\; j \in 0...\,n-1 \quad \;\; otherwise \\ & \;\;\; data_{i\cdot n+j} \leftarrow sin\left(\pi \cdot \frac{j}{n}\right) \\ & \;\;\; data \end{split}$$

40Gbps

フーリエ変換(波長軸)



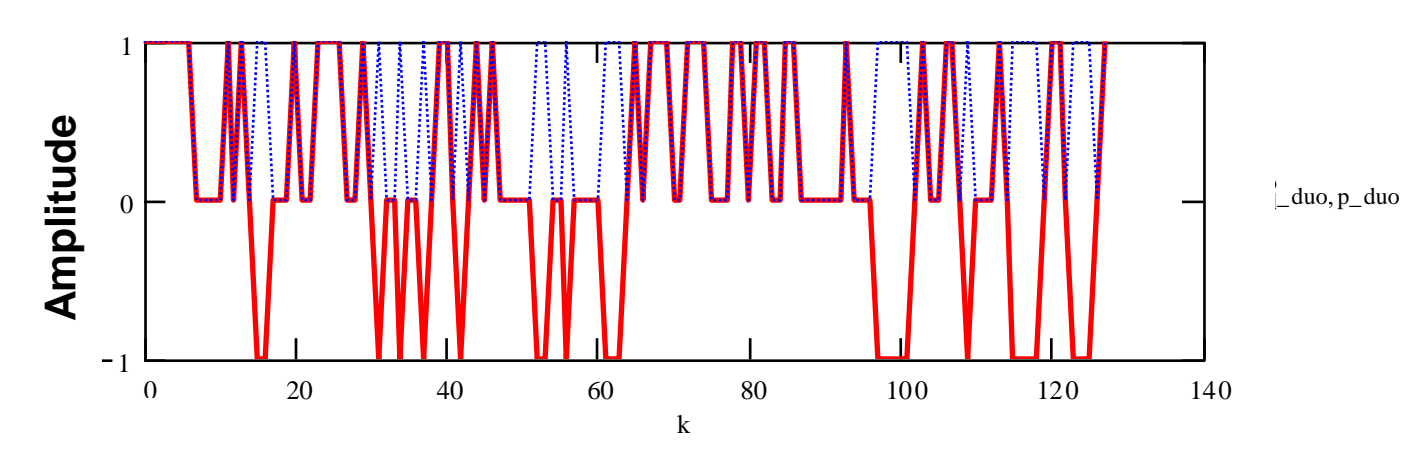
フーリエ変換(周波数軸)

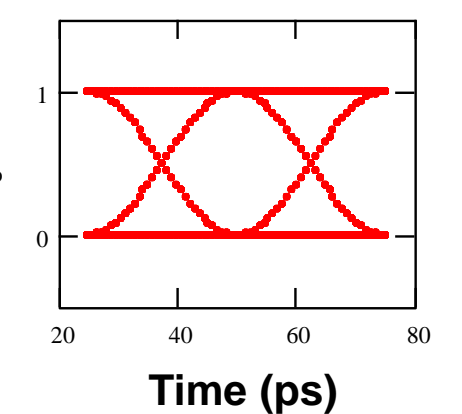


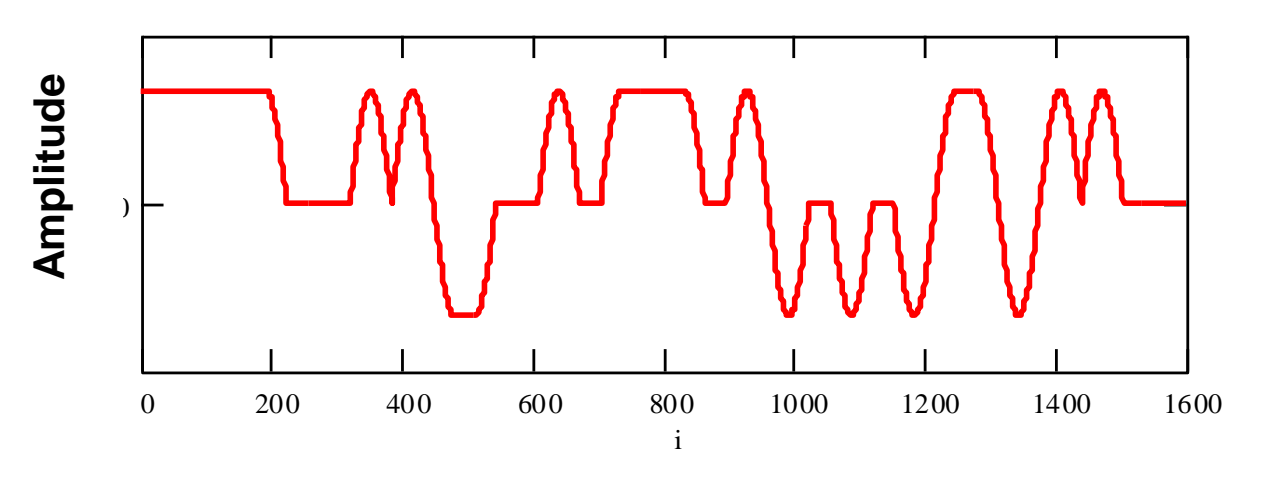
デュオバイナリ符号(符号長7のM系列)(1)



アイパターン







光位相変調

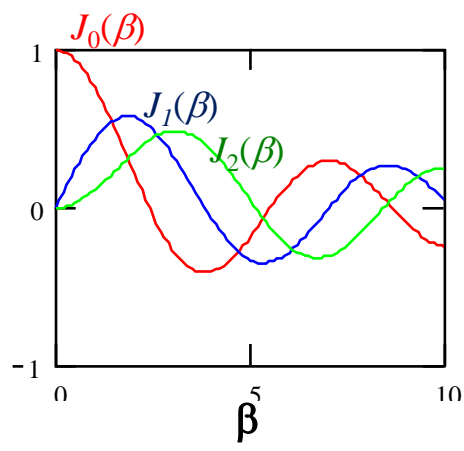
位相変調と側波帯

$$s(t) = A_c cos[2\pi f_c t + \theta_m(t)] = A_c cos[2\pi f_c t + \beta cos[2\pi f_m t]]$$

$$=Re\left[A_ce^{j\left[2\pi f_ct+\beta\cos\left[2\pi f_mt\right]\right]}\right]=Re\left[\widetilde{s(t)}e^{j\left[2\pi f_ct\right]}\right]$$

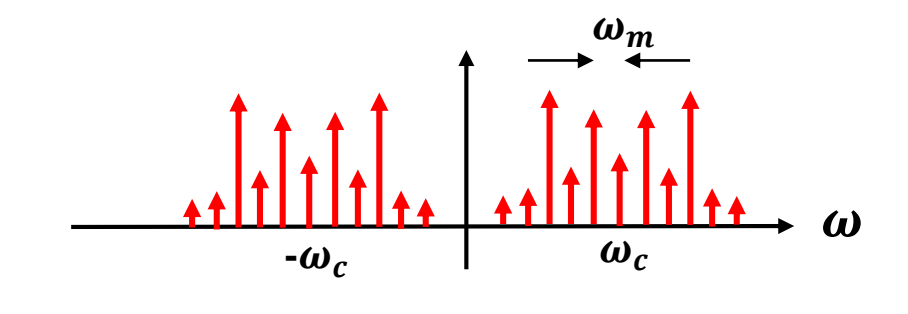
 $\widetilde{s(t)} = A_c e^{j[\beta cos[2\pi f_m t]]}$ は周期 f_m の周期関数なので、複素フーリエ級数展開すると、

$$\widetilde{s(t)} = \sum_{n=-\infty}^{\infty} c_n e^{j2\pi f_m nt}$$



$$c_n = f_m \int_{-\frac{1}{2f_m}}^{\frac{1}{2f_m}} \widetilde{s(t)} e^{-j2\pi f_m nt} dt = \frac{A_c}{2\pi} \int_{-\pi}^{\pi} e^{j(\beta \cos x - nx)t} dx = A_c J_n(\beta)$$

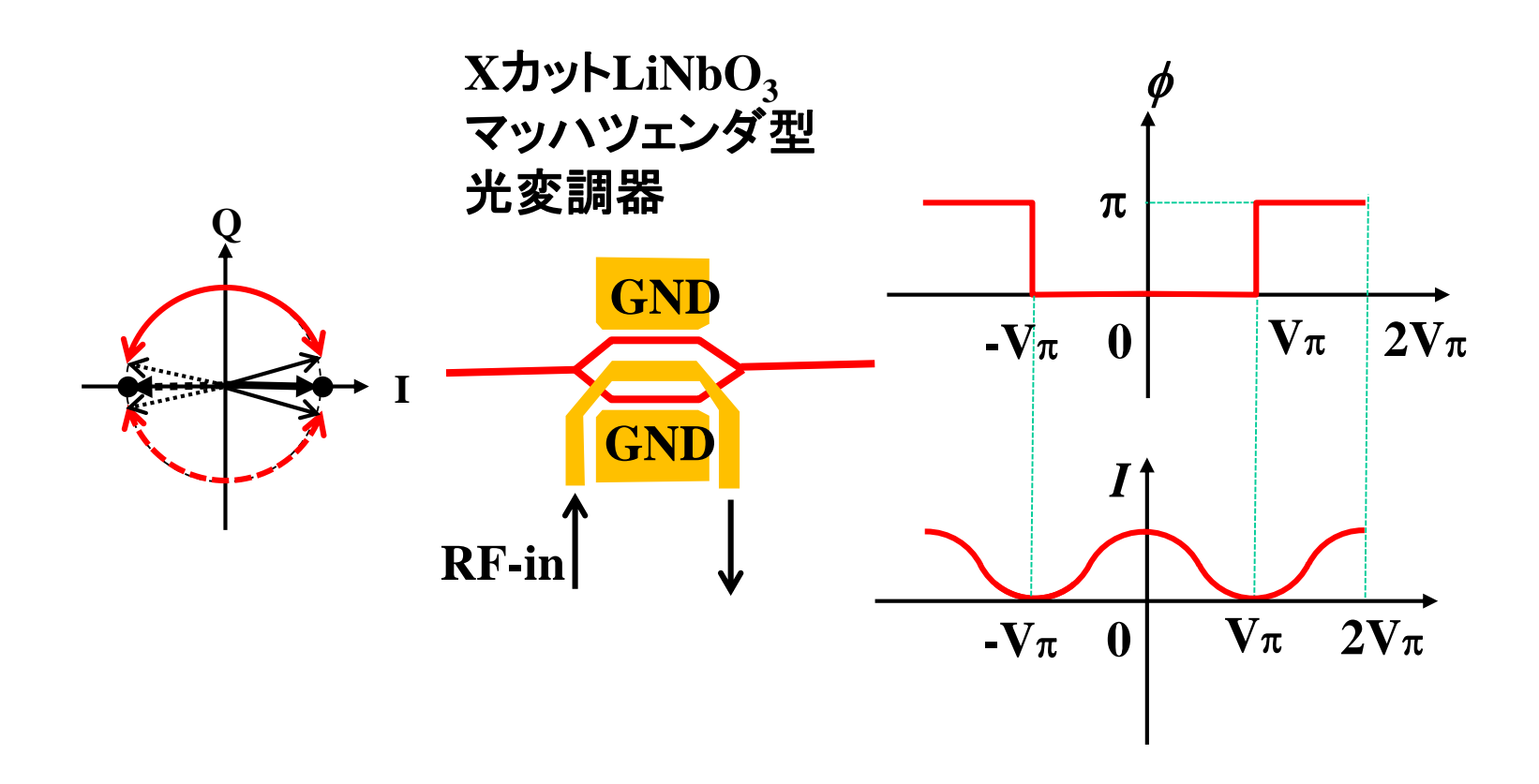
 $J_n(oldsymbol{eta})$: 第1種n次ベッセル関数



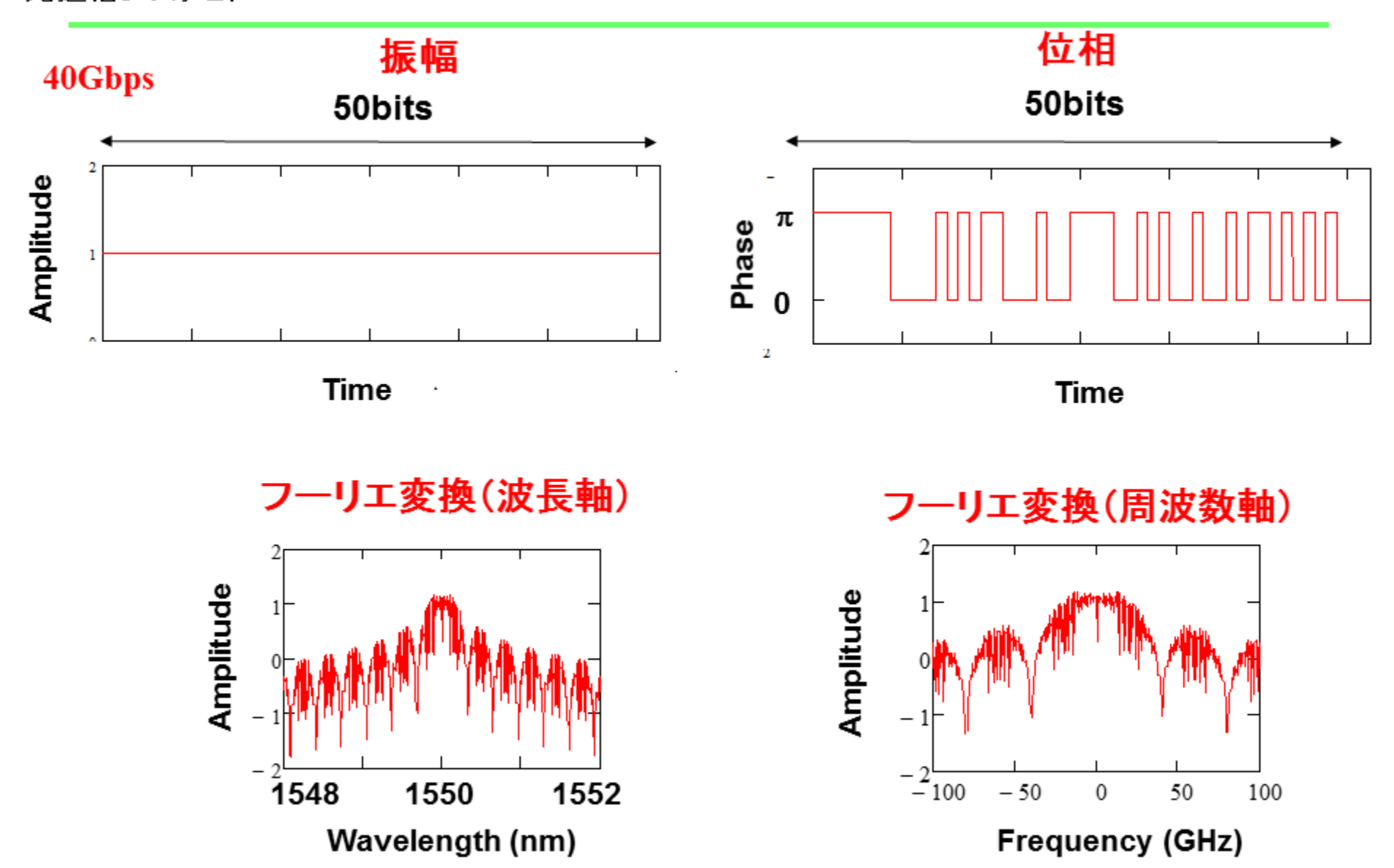
RZ-BPSK符号(符号長NのM系列)

- •1シンボルで正弦波状に電界強度が変化する場合を数式表現する。
- ・電界の位相成分を複素指数関数表現(シンボルごとに不連続に切り替え)

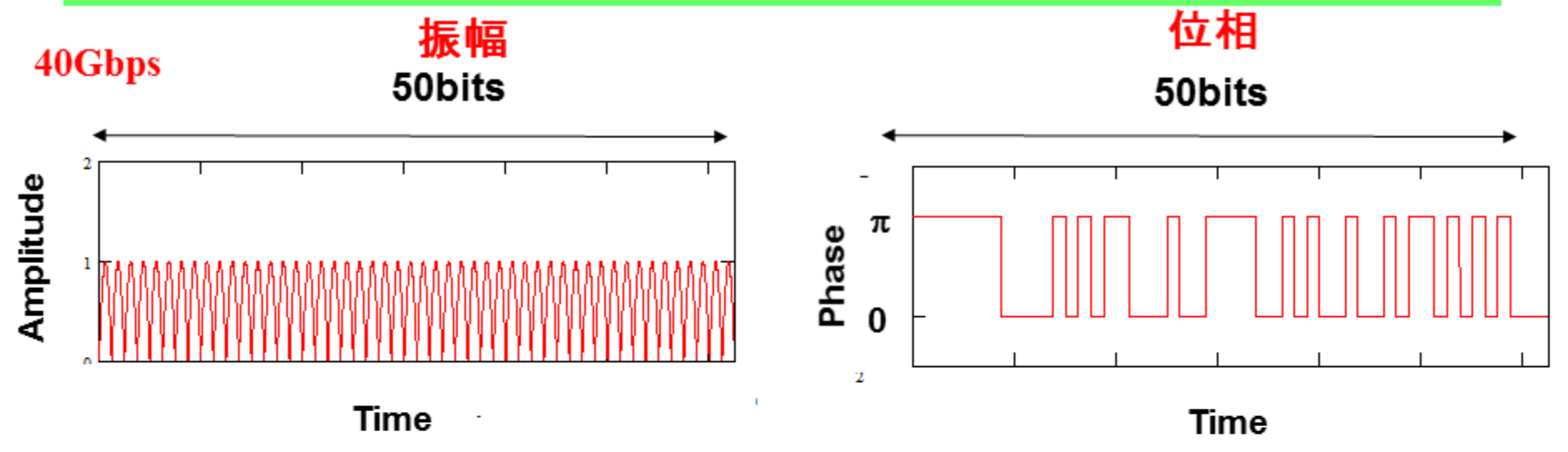
Push-pull 位相変調器による出力信号の位相変化



NRZ-BPSK符号(符号長7のM系列)(位相の遷移時間変化なし)



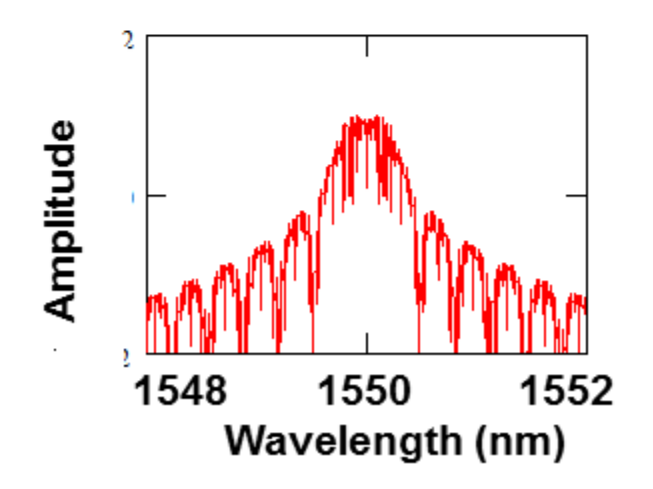
RZ-BPSK符号(符号長7のM系列)(位相の遷移時間変化なし)



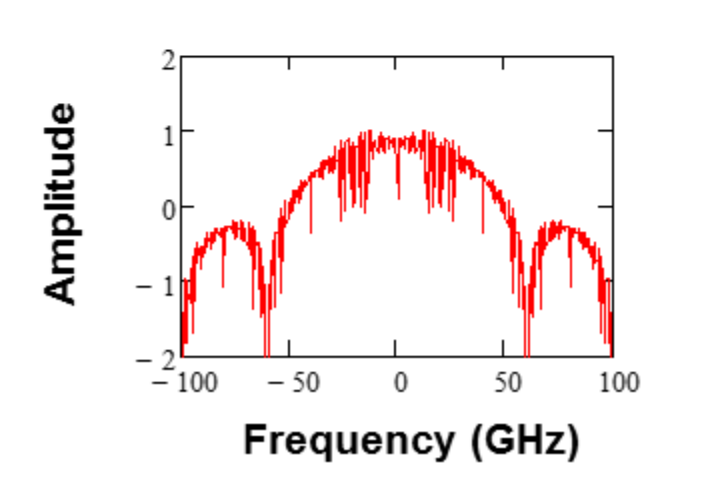
電界の数式を(シンボルごとに \sin 形状× $e^{j\theta}$)(θ はシンボルごとに位札、こおいてFFT解析。

18

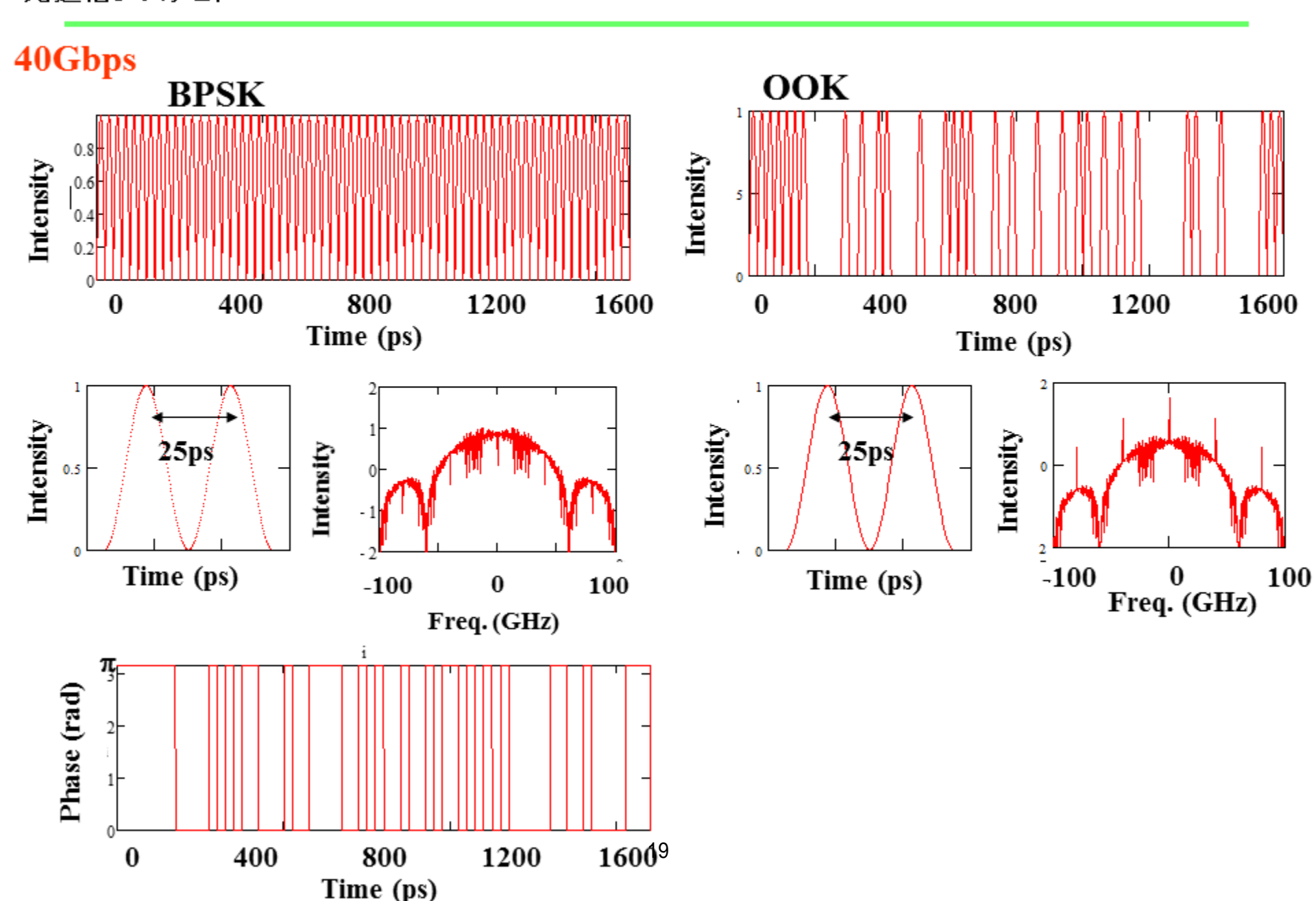
フーリエ変換(波長軸)



フーリエ変換(周波数軸)



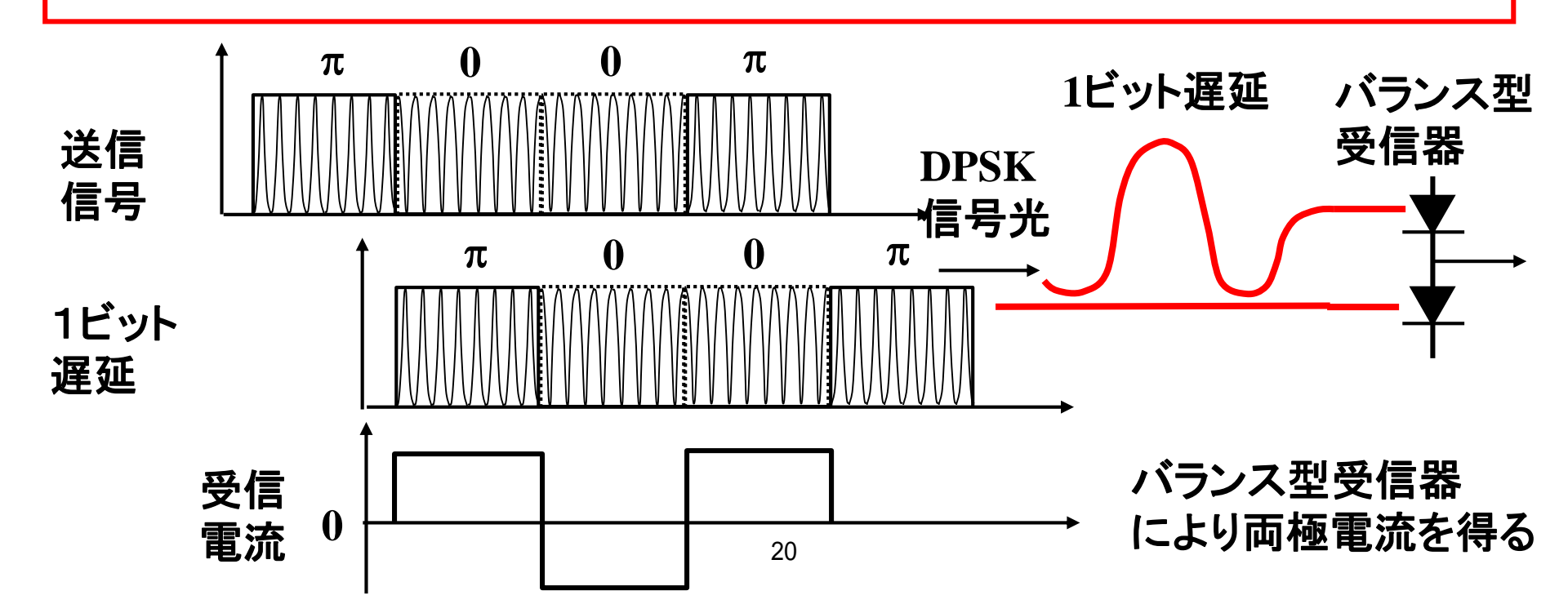
PSK vs. OOK



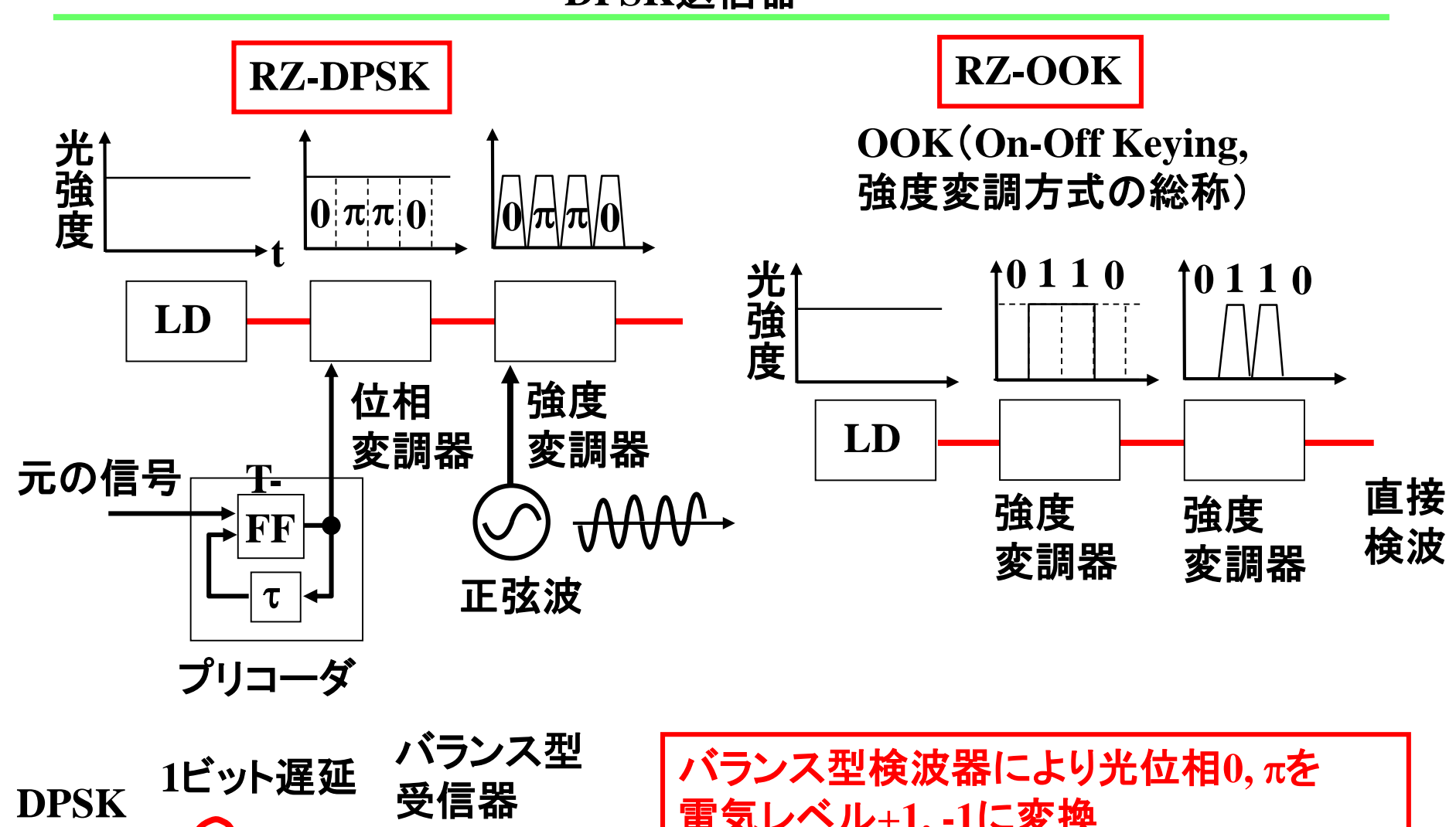
DPSK変調

DPSK(Differential Phase-Shift-Keying, 差動位相シフトキーイング方式)

- PSK変調の1種でデータ1を隣接ビット間の位相差π、データOを 隣接ビット間の位相差0に割り当てたもの。
- 40Gbps DWDMの長距離・受信感度改善(3dB)を目的にこの2~3年 急激に取り組みが盛んになってきた。



DPSK送信器

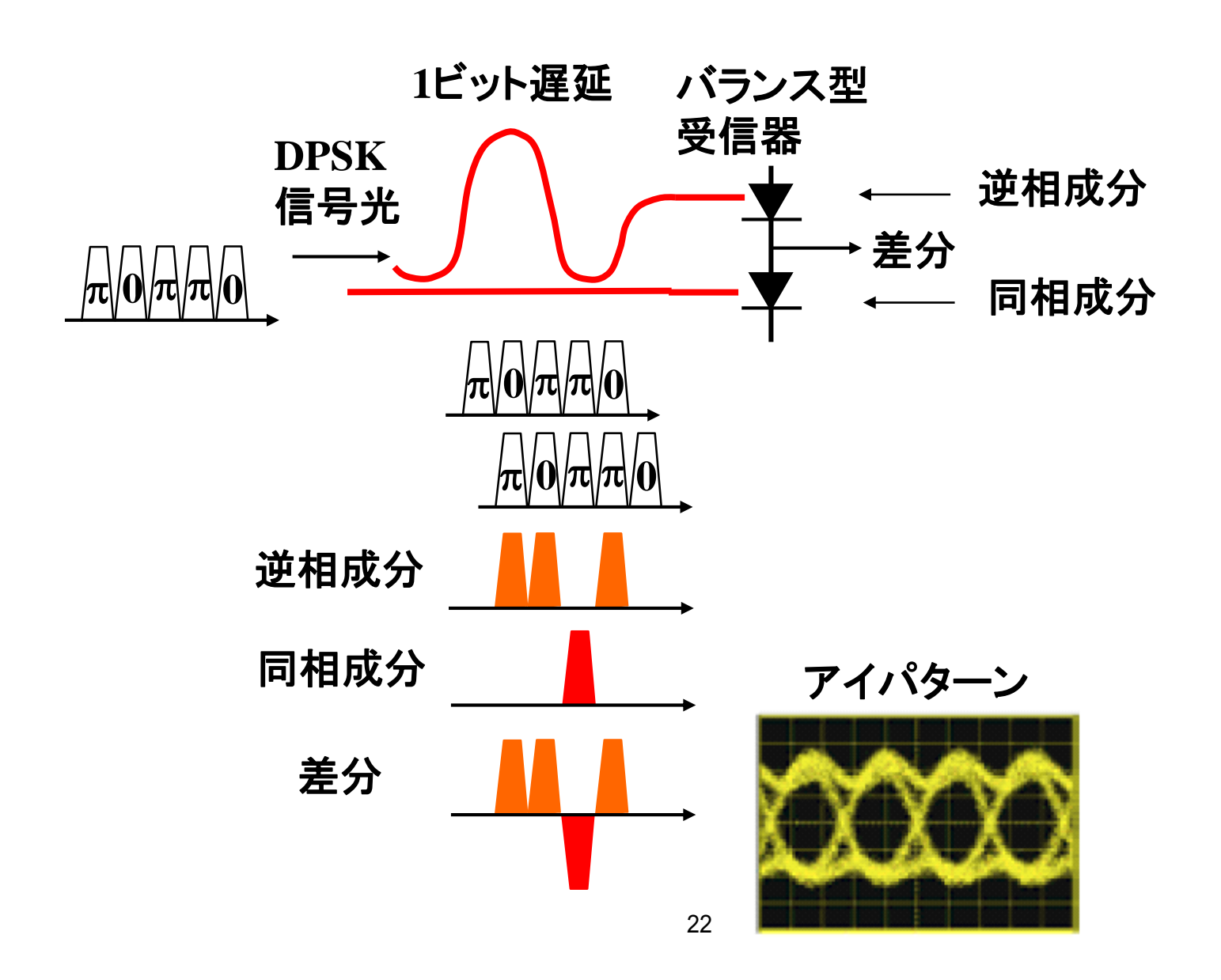


信号光

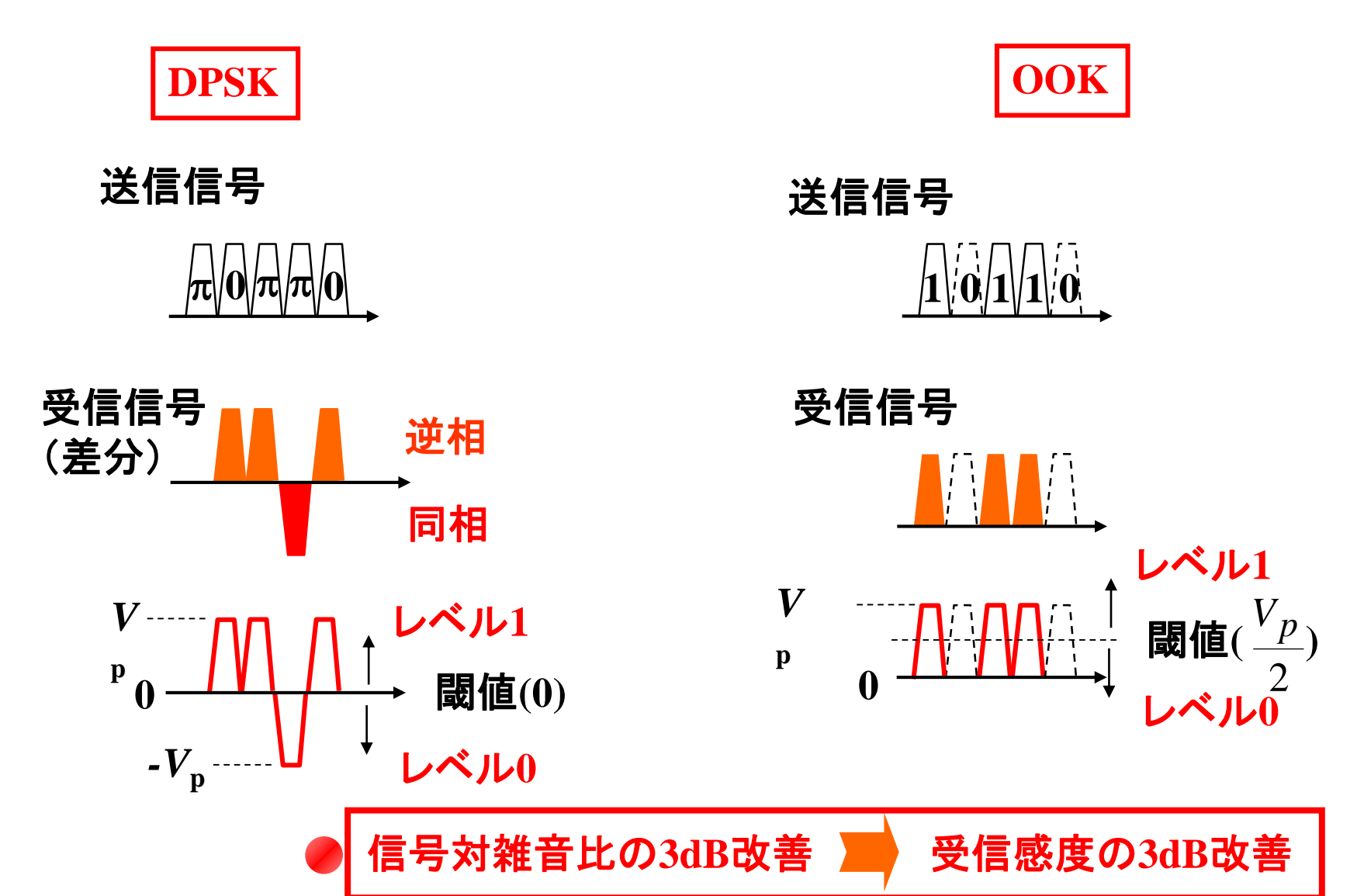
電気レベル+1, -1に変換

電圧0に閾値を設定でき、レベル0,1 の受信より感度を3dB改善可能

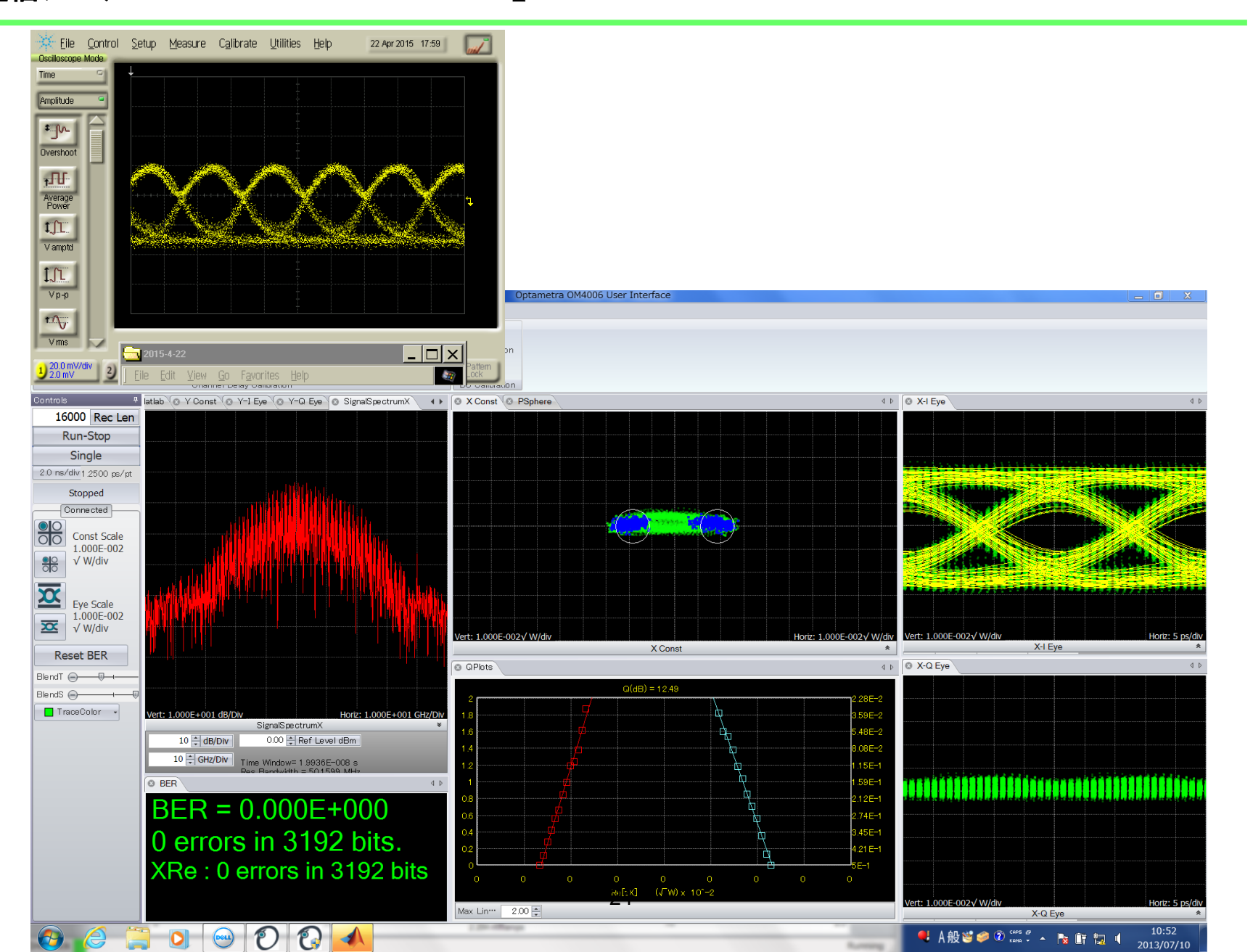
DPSK受信器



DPSKによる受信感度の改善効果



DPSK(10Gbps)受信信号実測例



多值変調技術

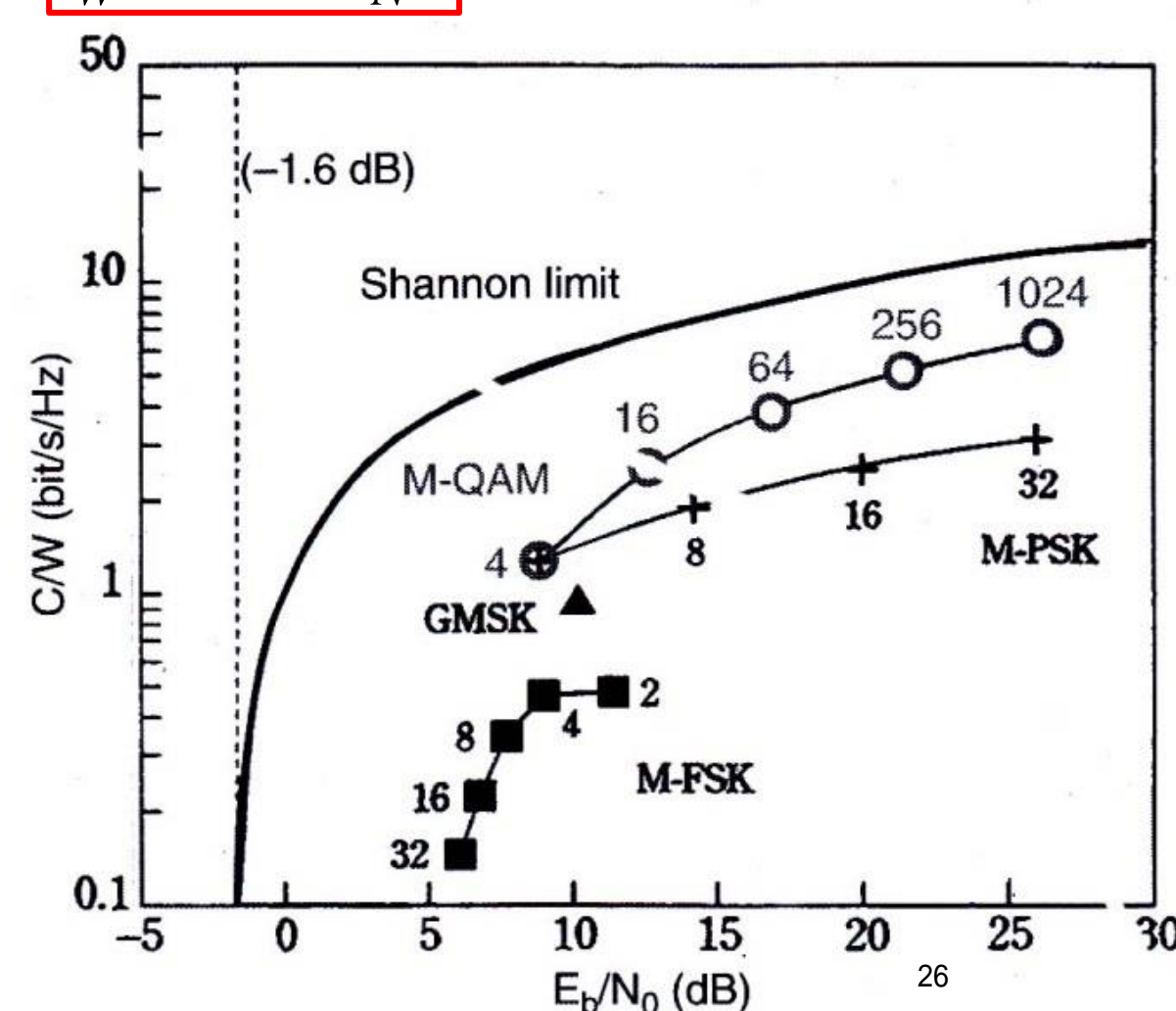
シャノン限界

M. Nakazawa, "High spectral density optical communication technology", Chapter 3, pp.54.

$$\frac{C}{W} = \log_2(1 + \frac{S}{N})$$

(C:伝送速度, W:周波数帯域幅,

S:信号の平均電力, N:雑音の平均電力)



いろいろな見方ができる

- ①(本来は・・・) 雑音の大きい通信路でも ビットレートを下げることで 情報伝達可能(横軸左側)
- ②(本講義の方向性では・・・) SN比を大きくできれば、 いくらでも伝送容量を拡大可能

※ただし・・・

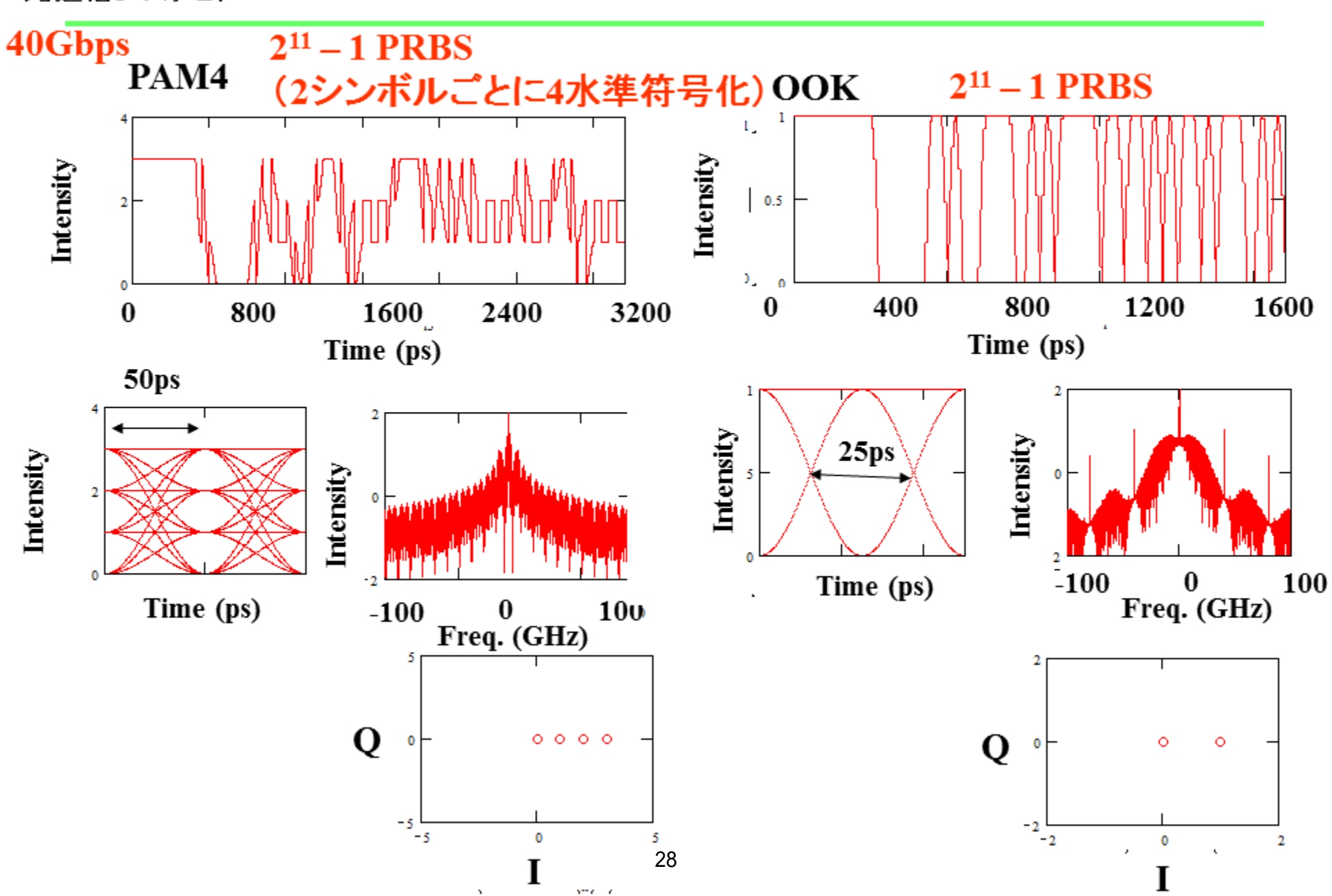
- ・伝送容量を拡大するには高い SN比が必須とも言える
- 30· 伝送容量拡大のため、非常に 大きなSN比改善が必要

高速化のための新技術の動向

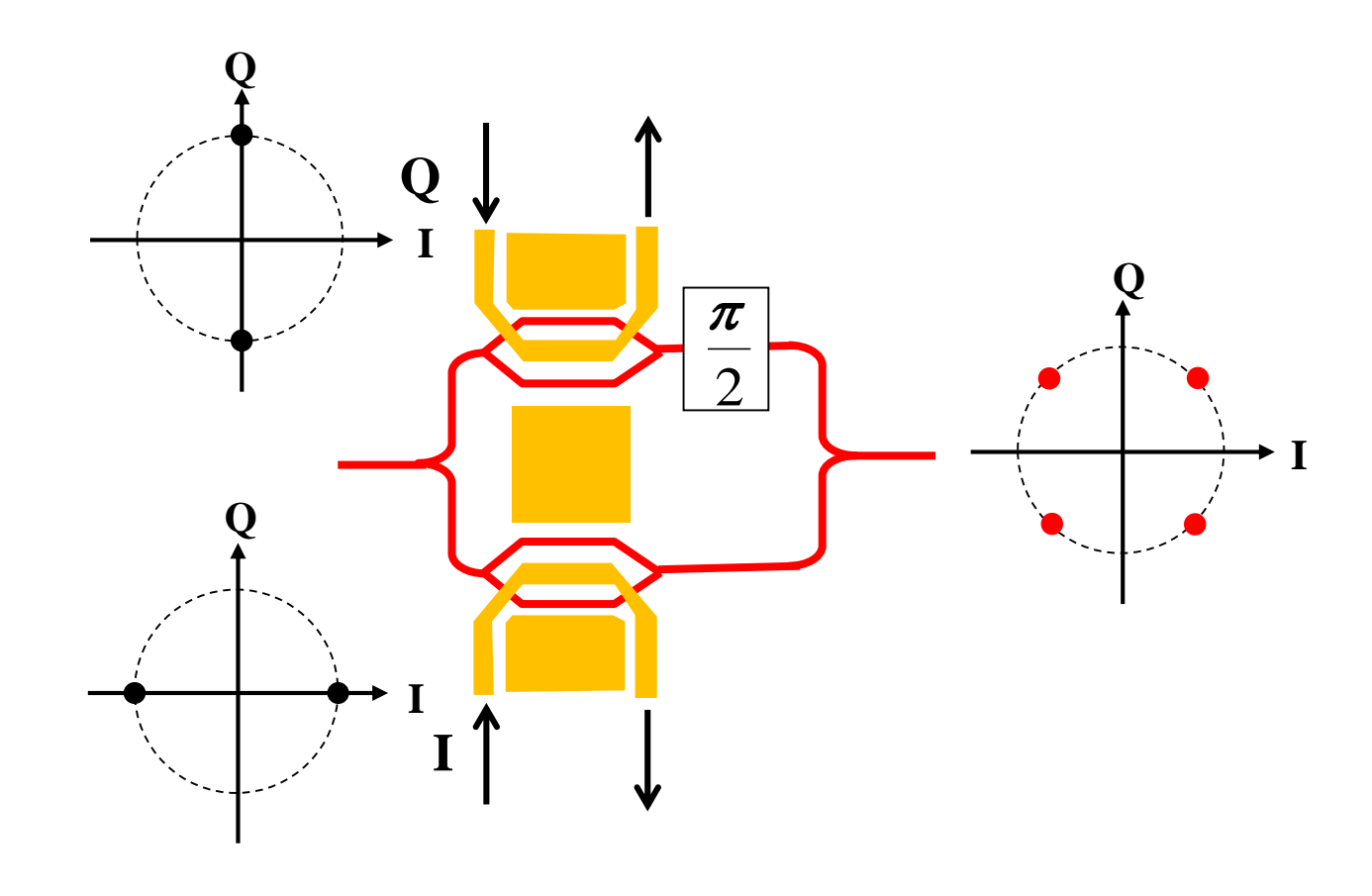
- 波形歪を打ち破る技術
 - ① 多値化 → シンボルレートを下げて狭帯域化
 - ② 偏波多重 → シンボルレートを下げて狭帯域化
 - ③ 等化器 → 時間領域/周波数領域
- SNR劣化をうち破る技術
 - ① 誤り訂正 → 軟判定FECによる符号化利得向上
 - ② 位相変調・同期検波 → デジタル・コヒーレント(イントラダイン)検波

高速デジタルLSIの進展により実現可能となってきた

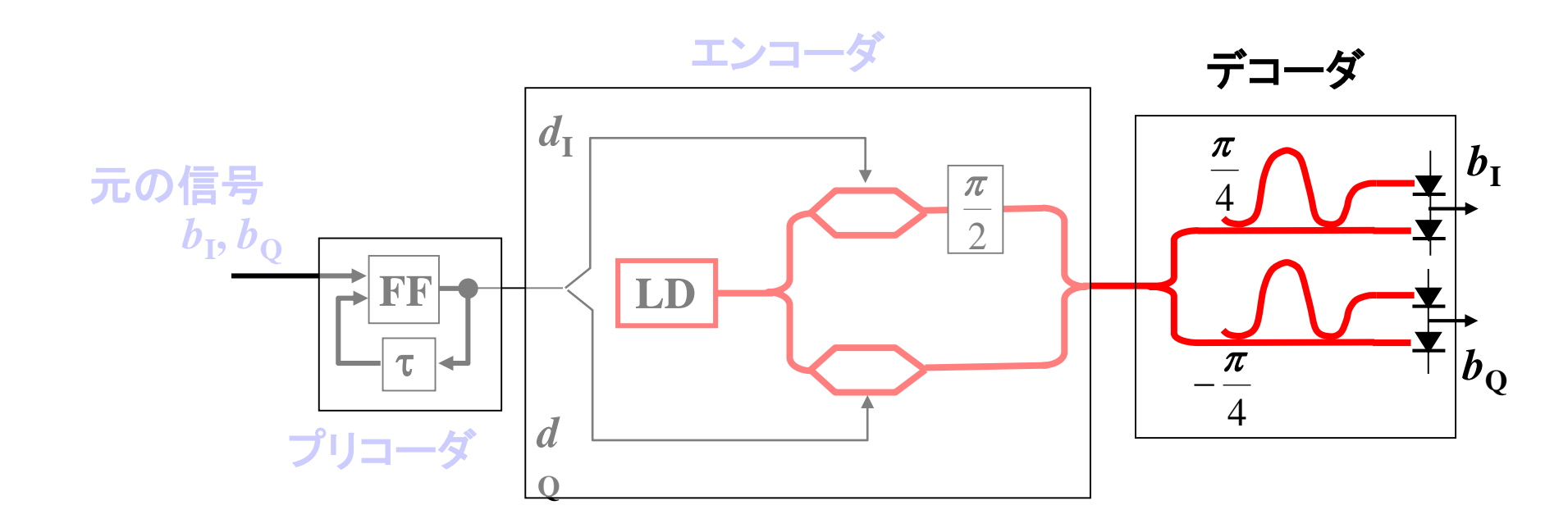
PAM4 vs. OOK



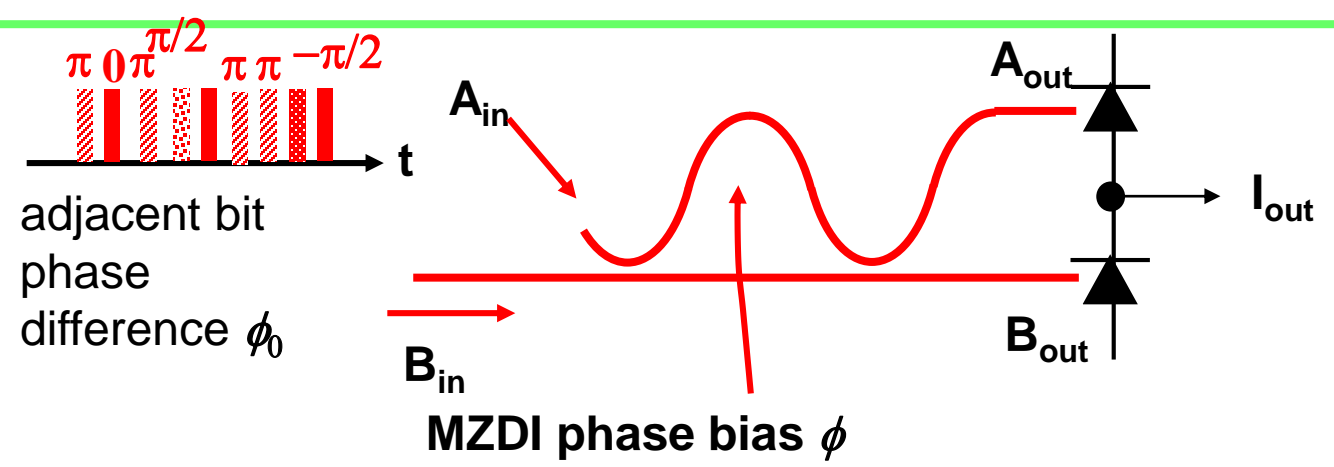
IQ位相変調器による出力信号の位相変化



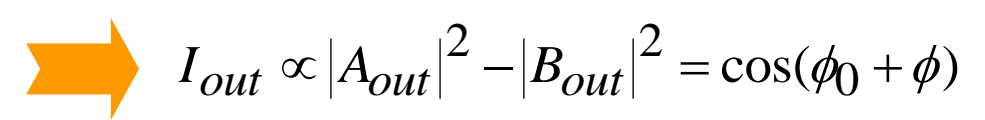
DQPSK受信器

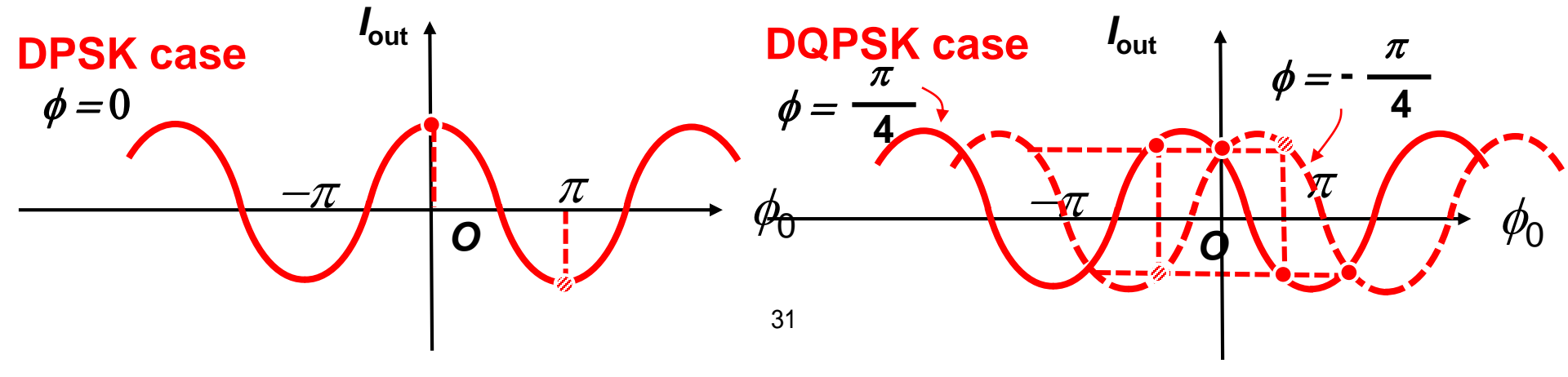


D(Q)PSK受信回路動作原理

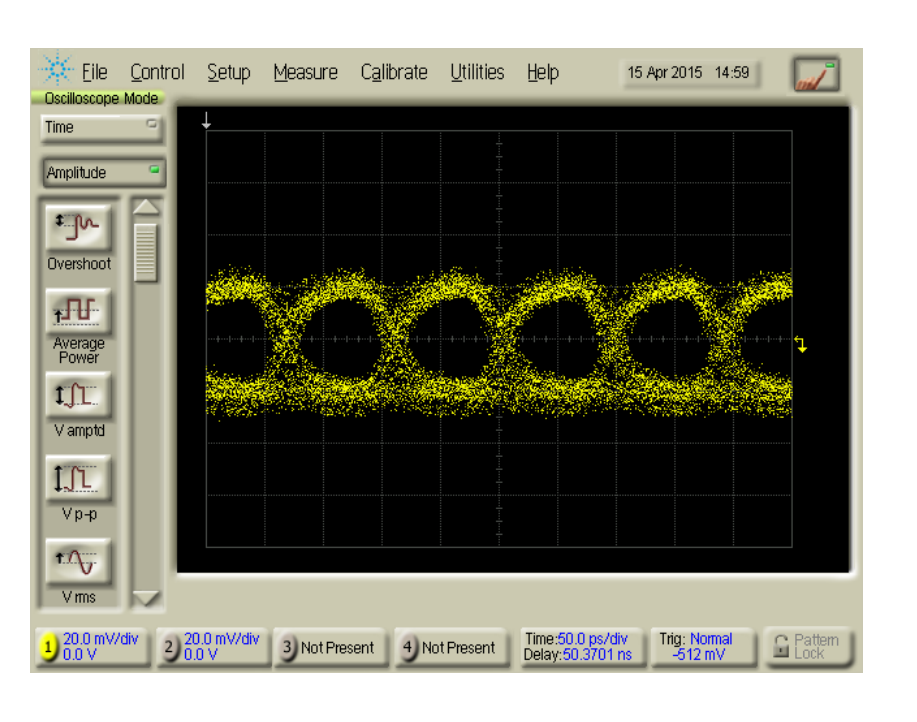


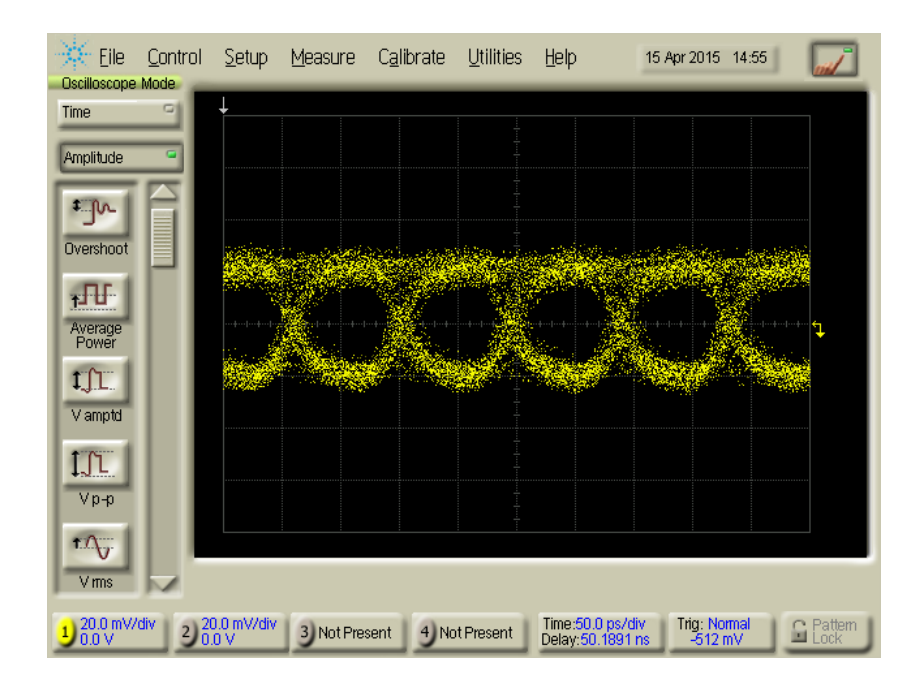
$$\begin{pmatrix} A_{out} \\ B_{out} \end{pmatrix} = \frac{1}{\sqrt{2}} \begin{pmatrix} 1 & -j \\ -j & 1 \end{pmatrix} \begin{pmatrix} e^{j(\phi_0 + \phi)} & 0 \\ 0 & 1 \end{pmatrix} \frac{1}{\sqrt{2}} \begin{pmatrix} 1 & -j \\ -j & 1 \end{pmatrix} \begin{pmatrix} A_{in} = 0 \\ B_{in} \end{pmatrix}$$





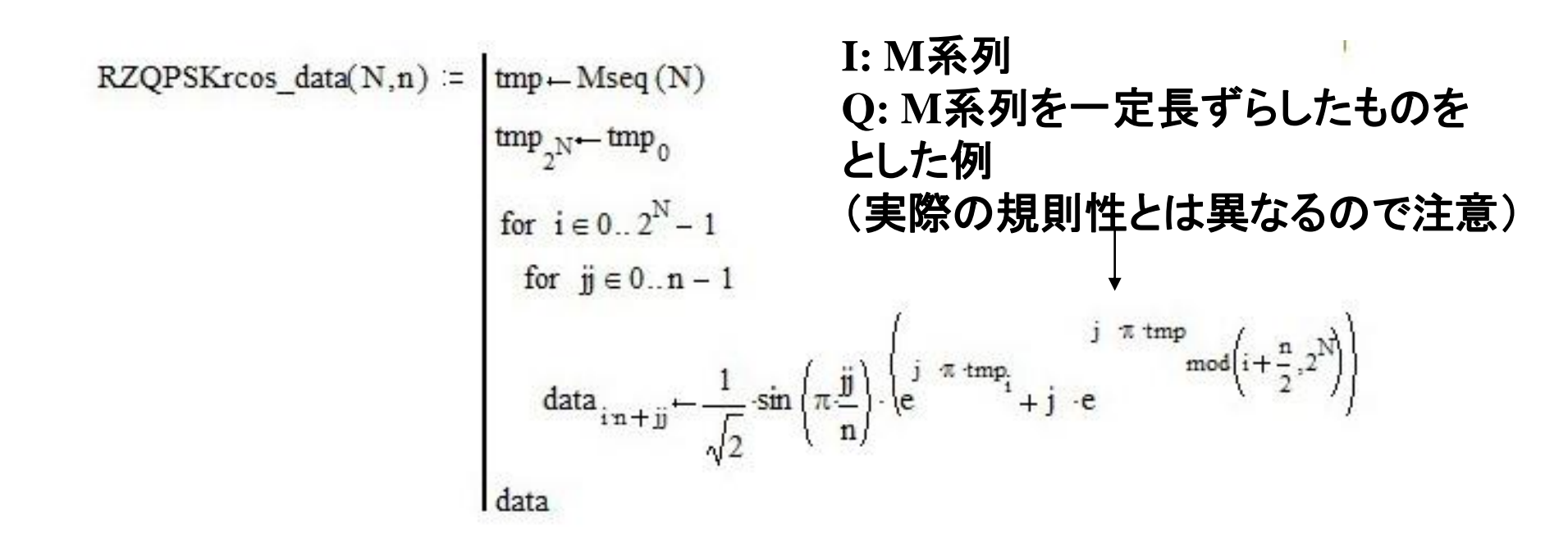
DQPSK(20Gbps)受信信号実測例



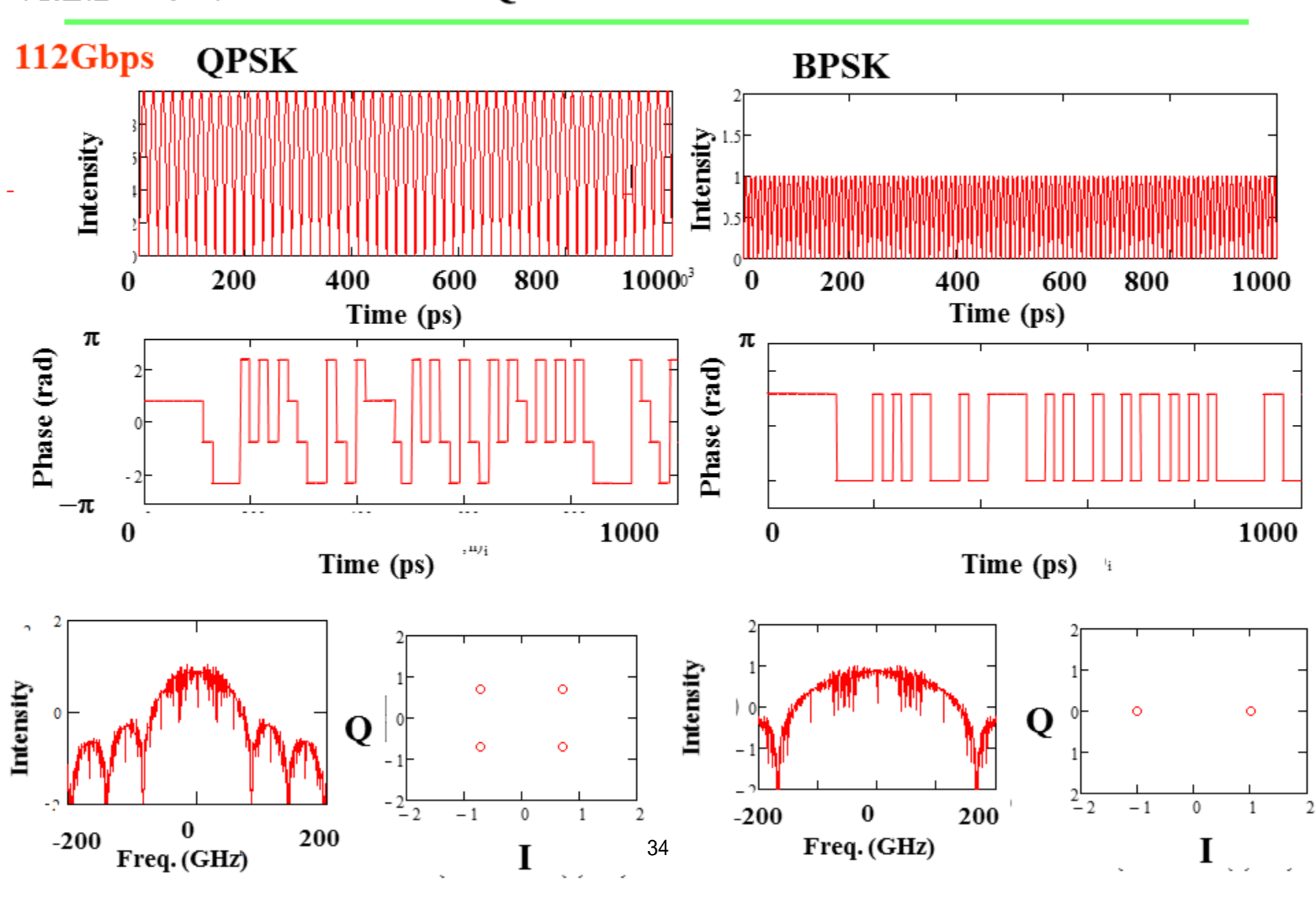


RZ-QPSK符号(符号長NのM系列)

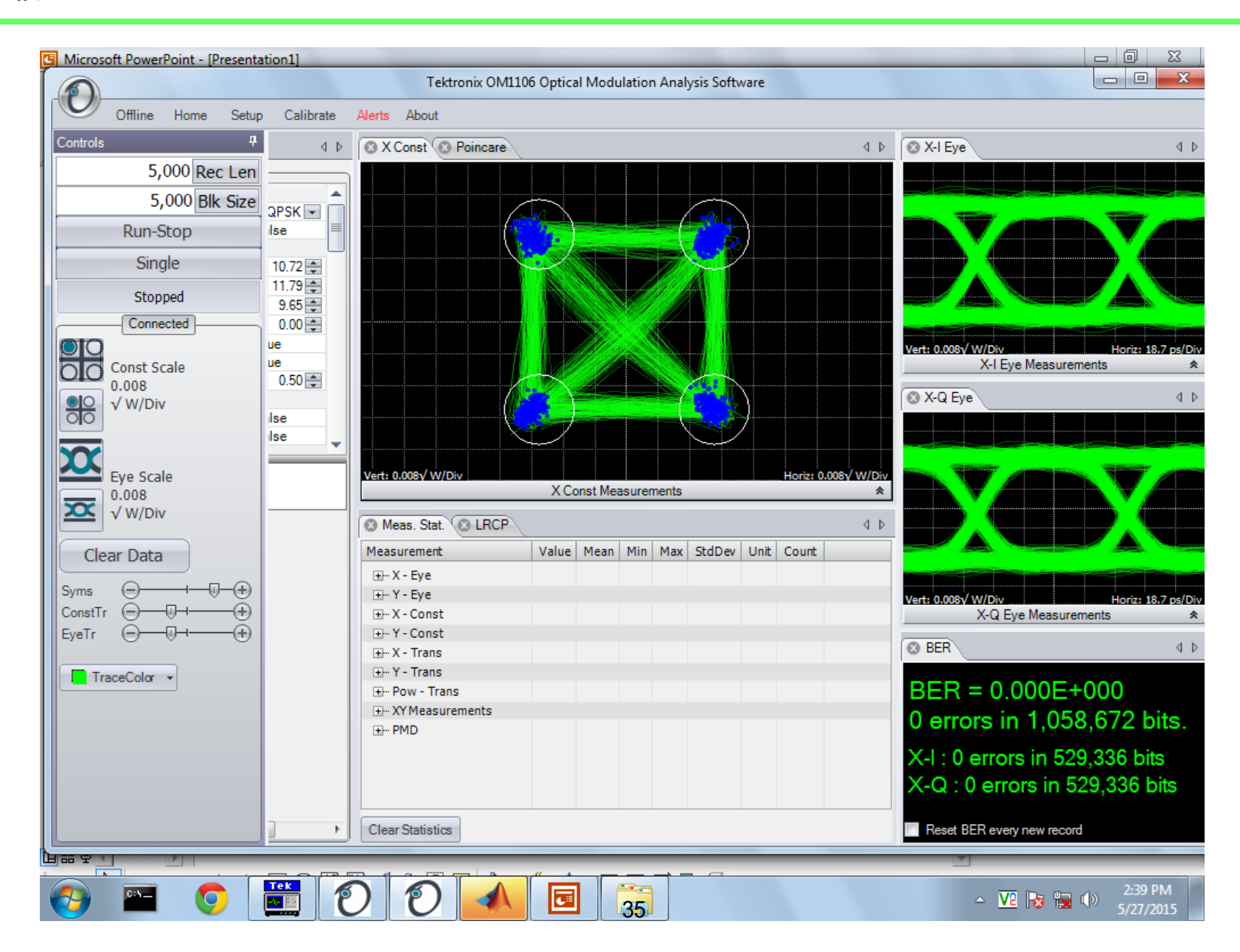
- ・たとえば N次M系列を2元符号とし、奇数番目を同相成分、偶数番目を 直交位相成分と定める。
- •1シンボルで正弦波状に電界強度が変化する場合を数式表現する。
- 電界の位相成分を複素指数関数表現



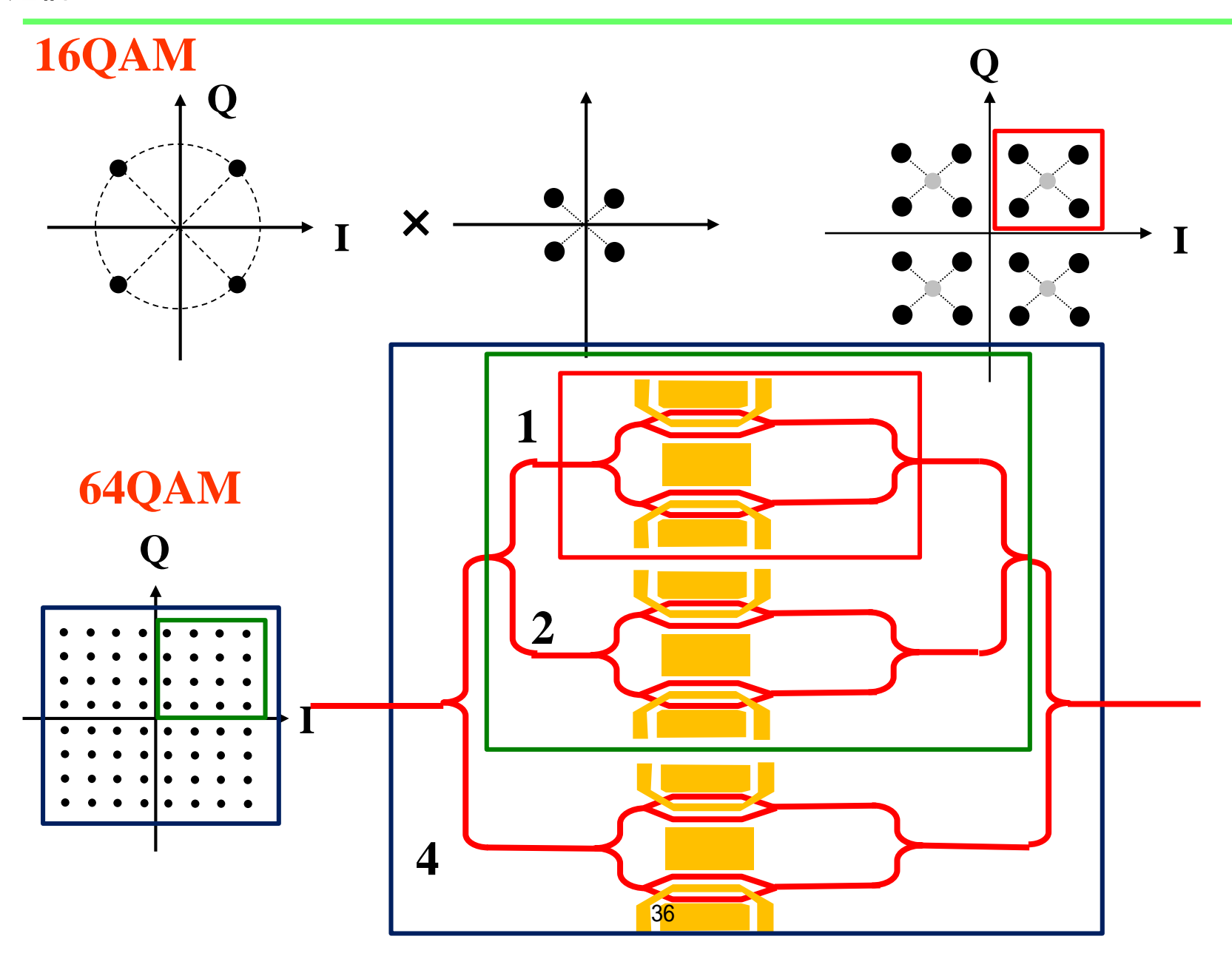
QPSK vs. BPSK



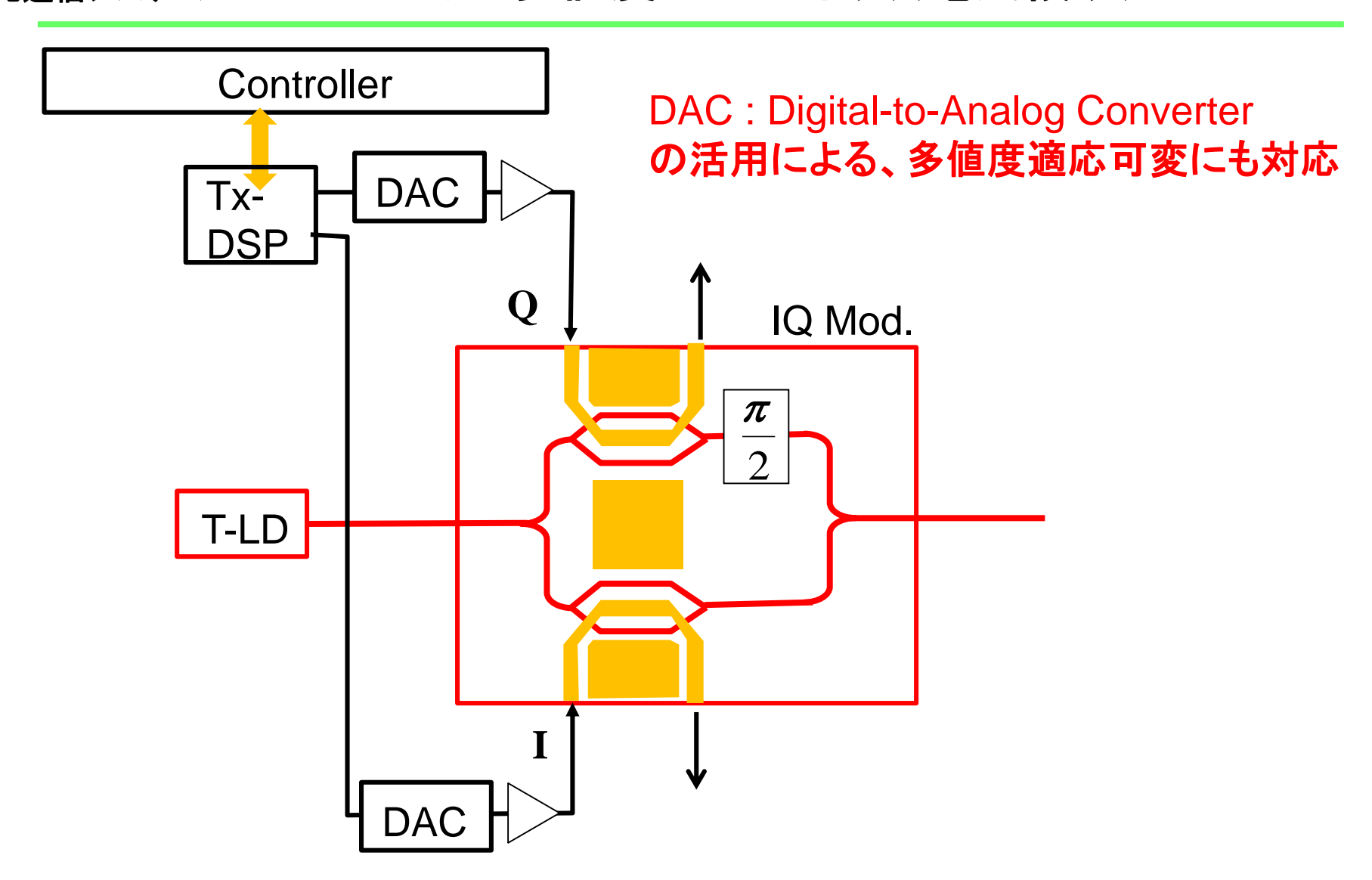
QPSK (20Gbps)実測データ



さらなる多値度向上の手法(光領域)

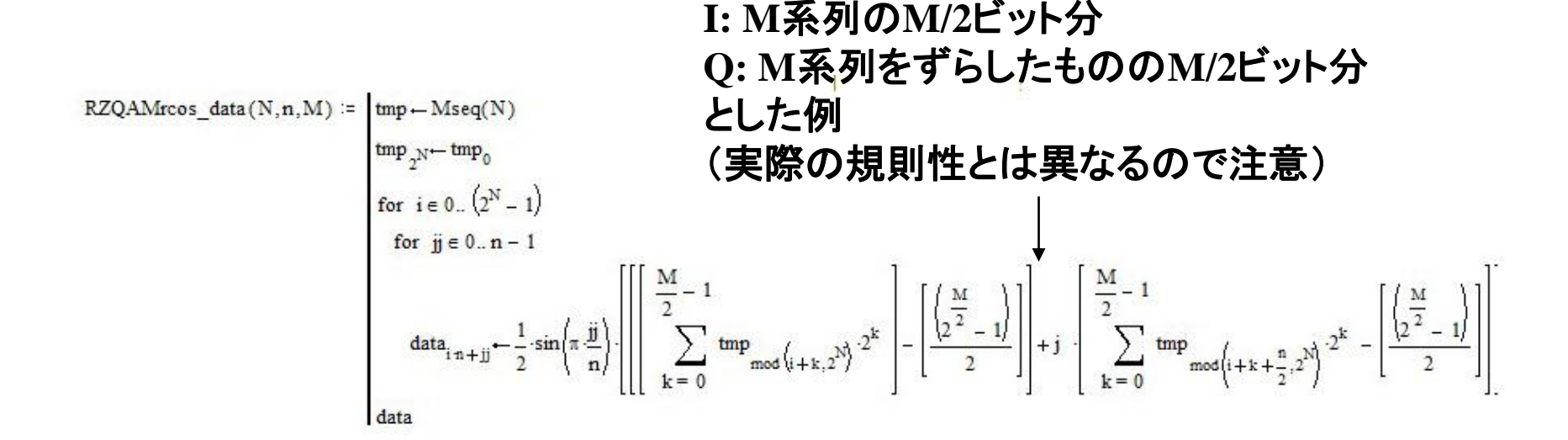


さらなる多値度向上の手法(電気領域)

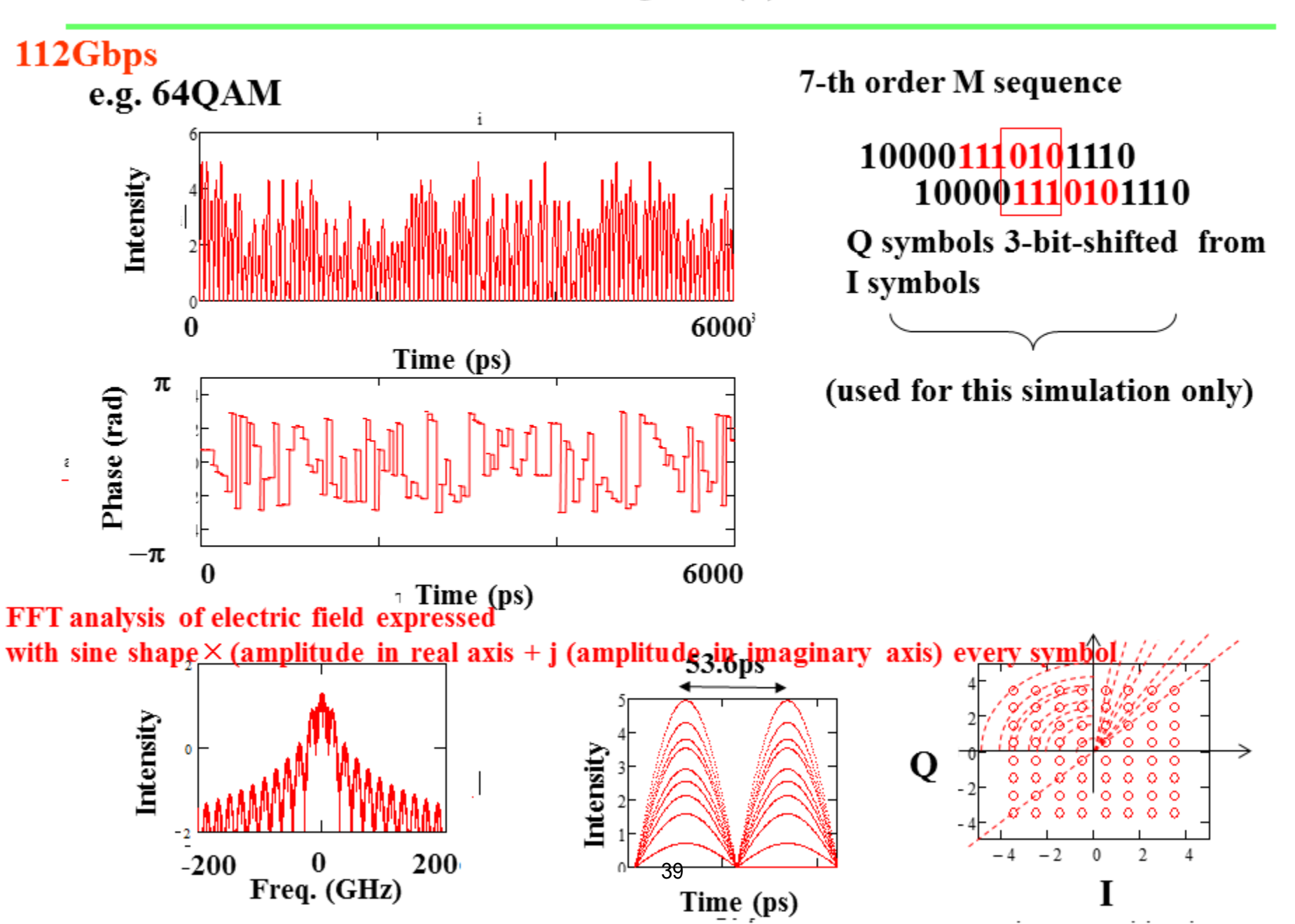


RZ-2^MQAM符号(符号長NのM系列)

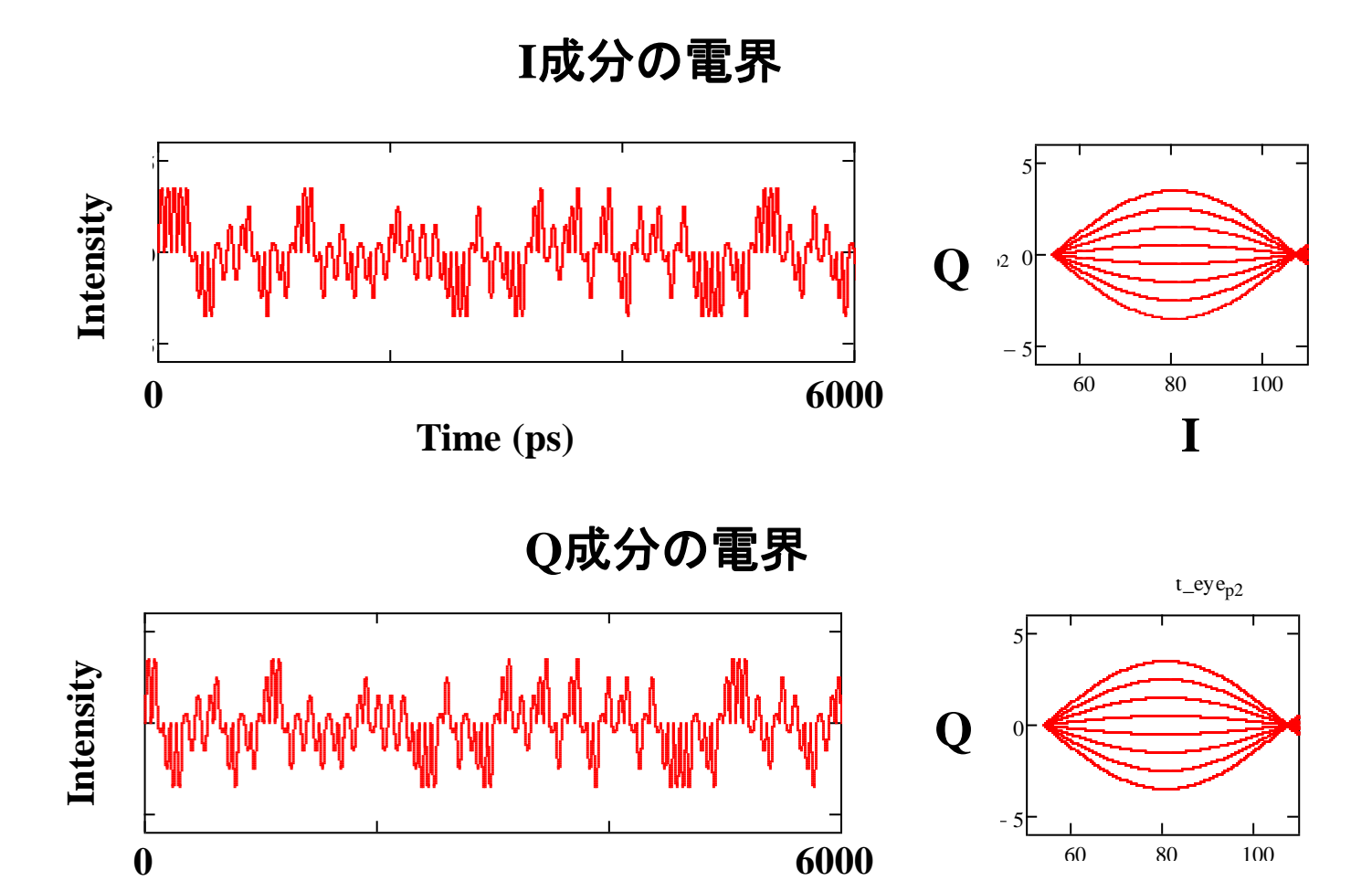
- ・たとえば N次M系列を2元符号とし、Mワード長の半分をI信号、残りをQ信号として電界強度とする。
- ・1シンボルで正弦波状に電界強度が変化する場合を数式表現する。
- 電界の位相成分を複素指数関数表現



QAM(1)

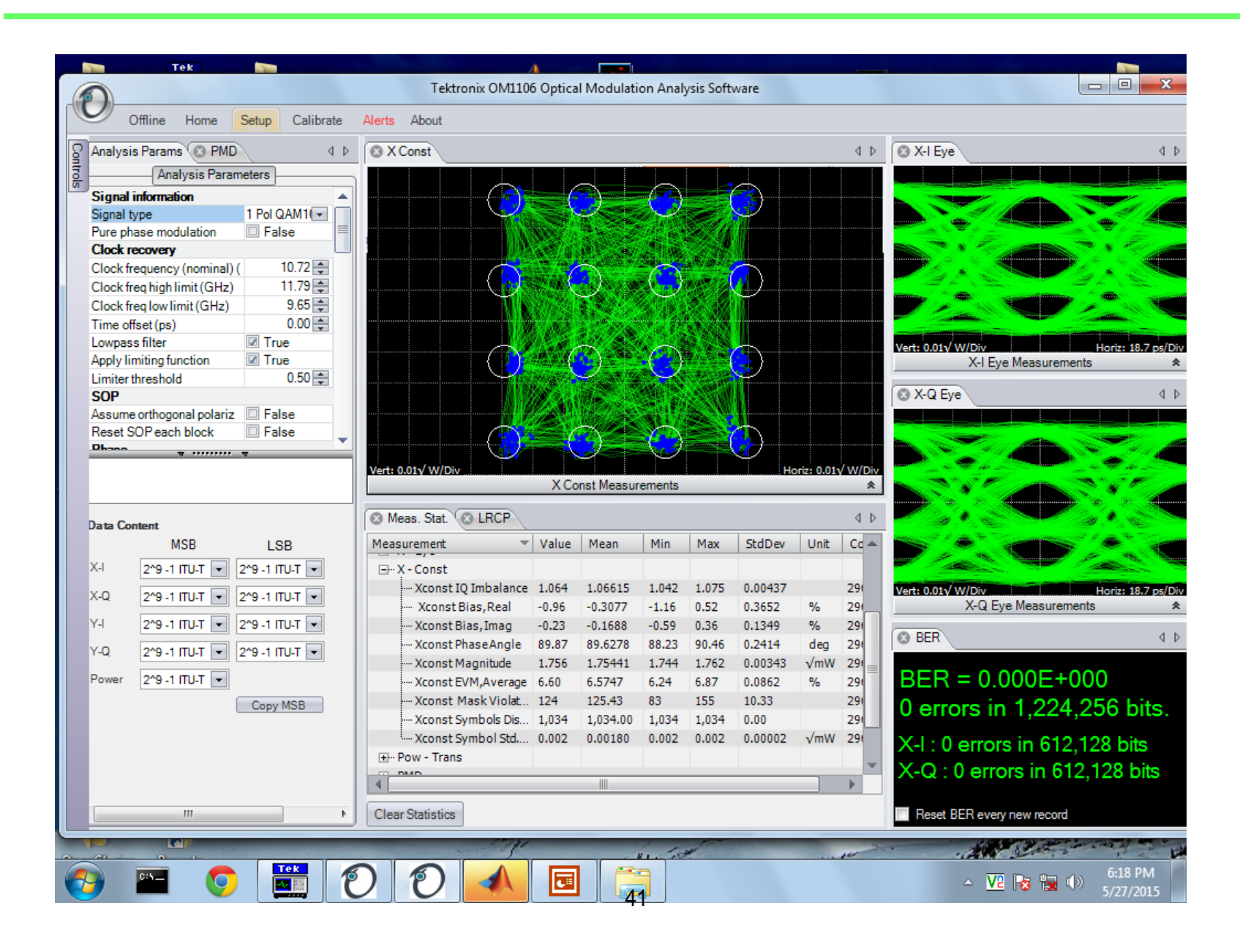


QAM(2)

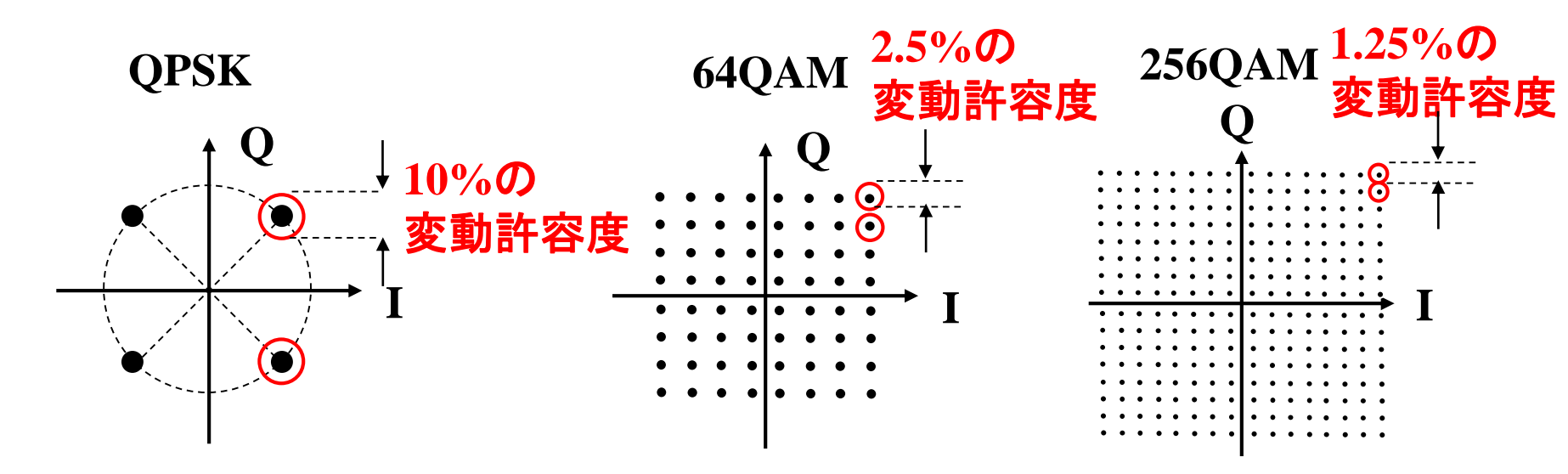


Time (ps)

16QAM (40Gbps) 実測データ



多値度の向上と課題



2008.3.24 日経エレクトロニクス『WiMAXは,本当に「モバイル」できるのか』記事より

● 周波数利用効率の制限

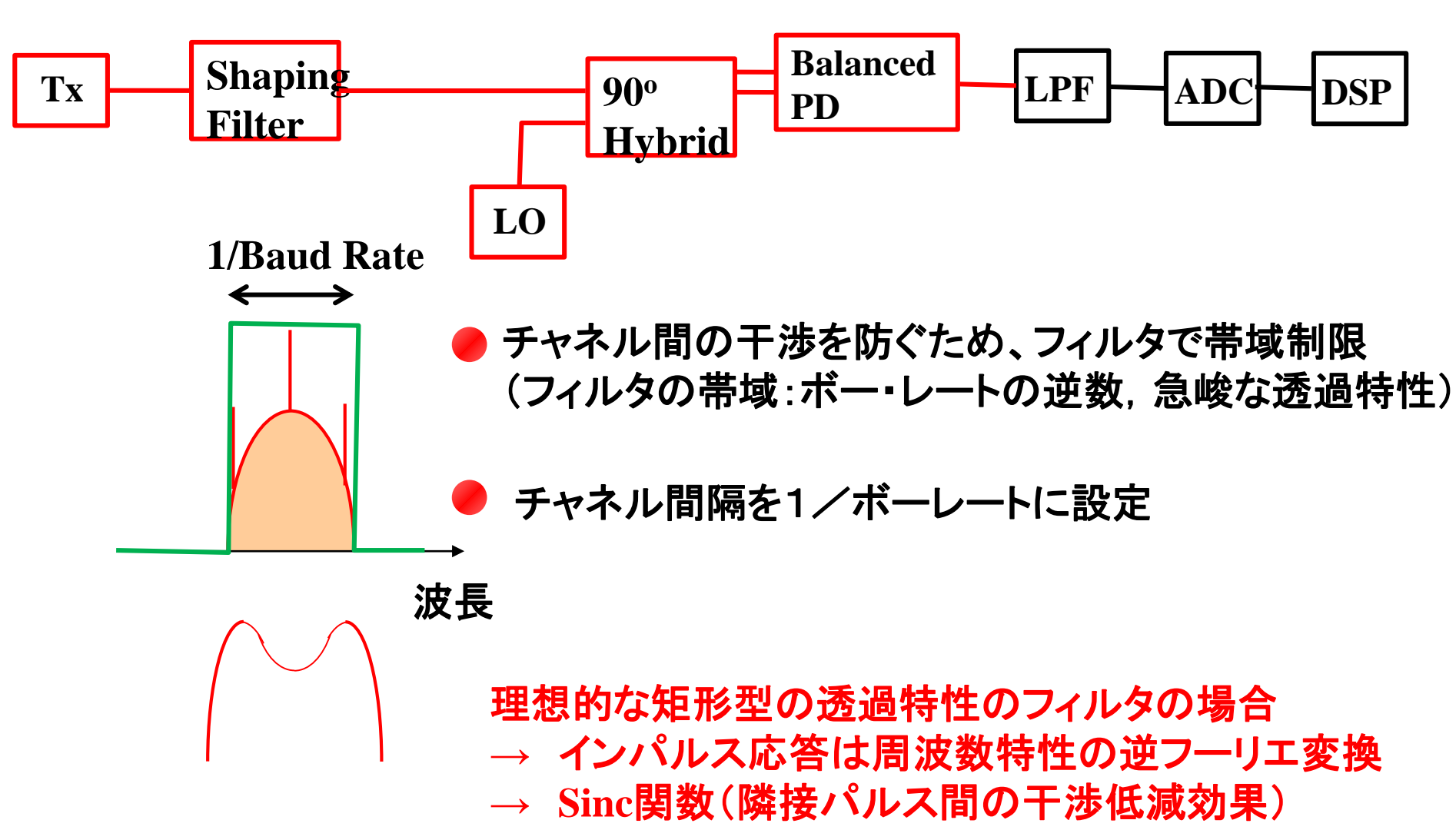
- ・無線伝送での実用例では10bit/s/Hzまで
- •50Mbps ADSLでは15bitローディング(32768QAM)まで用いられている。

Nyquist WDM

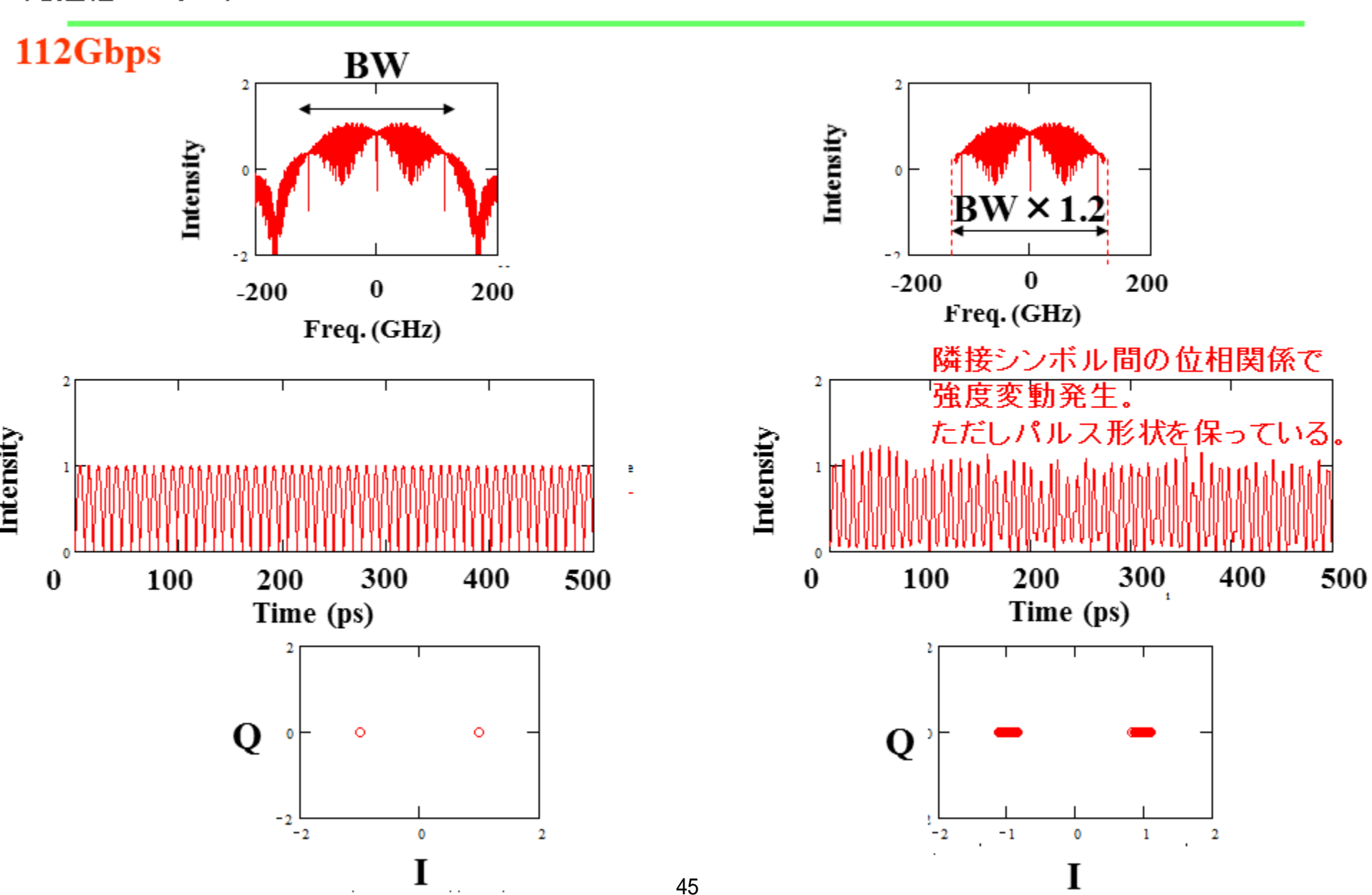
2017年度 光通信システム

(参考)周波数利用効率の向上の別手段 (ナイキストWDM)

G. Bosco, A. Carena, V. Curri, P. Poggiolini, E. Torrengo, and F. Forghieri, ECOC2010, Tu.3.A.4 (2010).



ナイキスト・パルス



OFDM

マルチキャリア伝送(OFDM)へ?

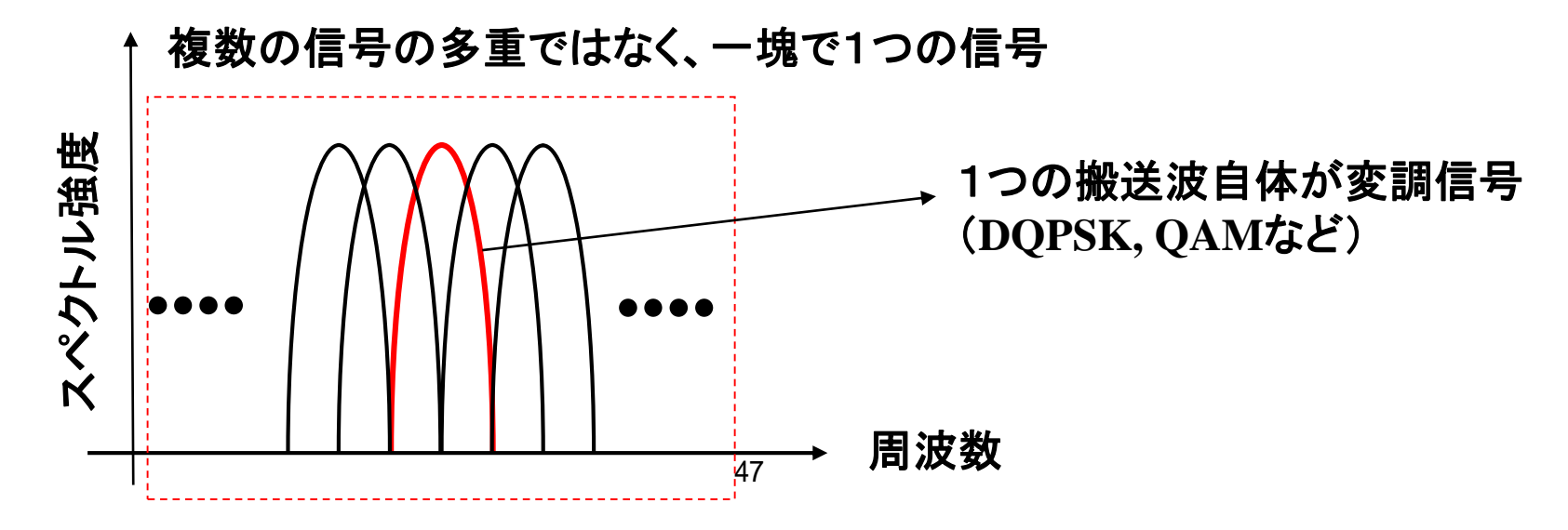
OFDM: Orthogonal Frequency Division Multiplexing 複数の搬送波(キャリア)を用いて1つの信号を伝送する手法

特徴

- 高スペクトル利用効率 → 限られた帯域を用いて高速化・伝送容量の増大
- 1搬送波の帯域が狭く、分散の影響抑制可能
- 伝送路の品質に合わせて適応的に対応可能(雑音の多い周波数帯を抑制)

適用例

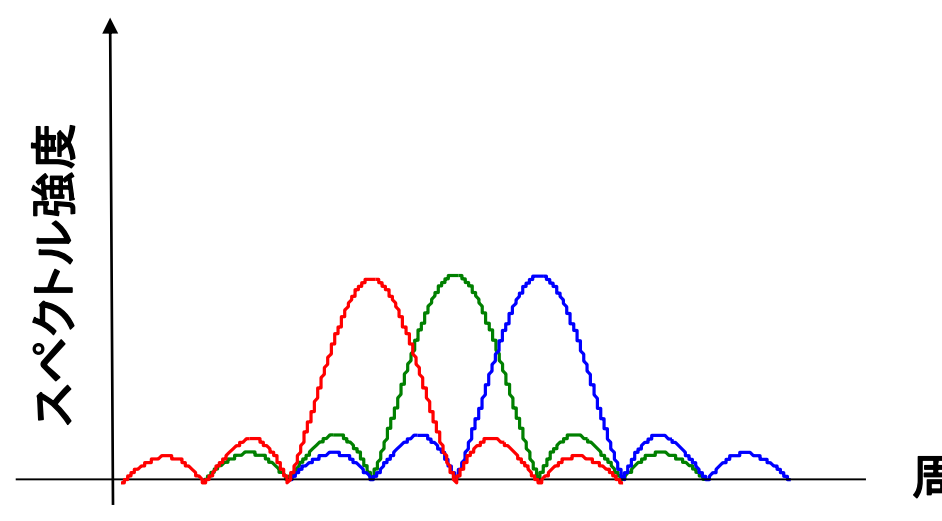
無線伝送(IEEE802.11a, g, n, WiMAX), 有線(ADSL), デジタル放送(地上デジタル)



OFDMの高スペクトル利用効率のポイント

矩形波のフーリエスペクトル

 f_0 間隔で搬送波を配置すると、直交関係となり 各搬送波との相関をとることにより分離可能



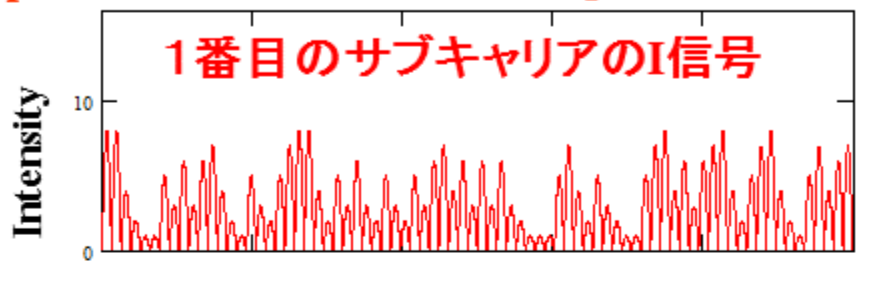
周波数

OFDM信号波形とスペクトル(1)

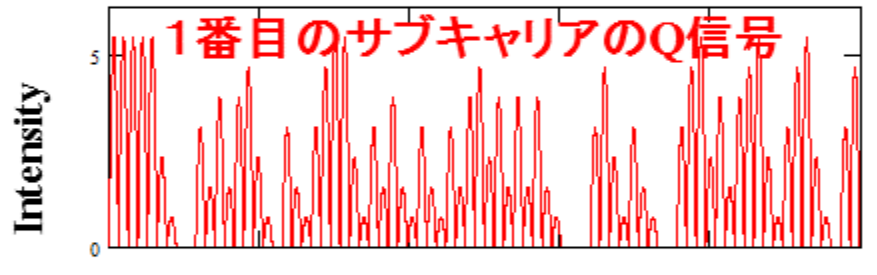
49

10

40Gbps(8キャリア、各キャリア64QAM変調)



Time (1.2ns/bit)



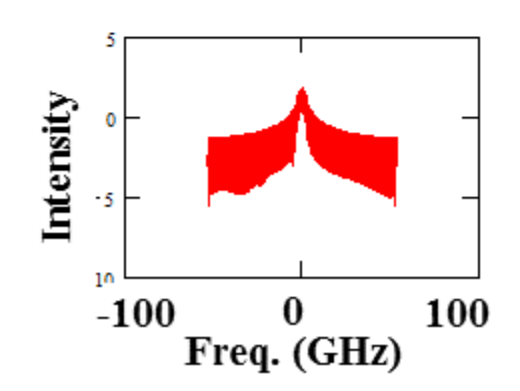
Time (1.2ns/bit)

Time (1.2ns/bit)

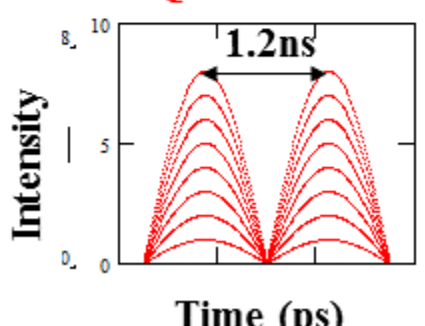
2番目のサブキャリアのI信号

Time (1.2ns/bit)

1番目のサブキャリアのスペクトル

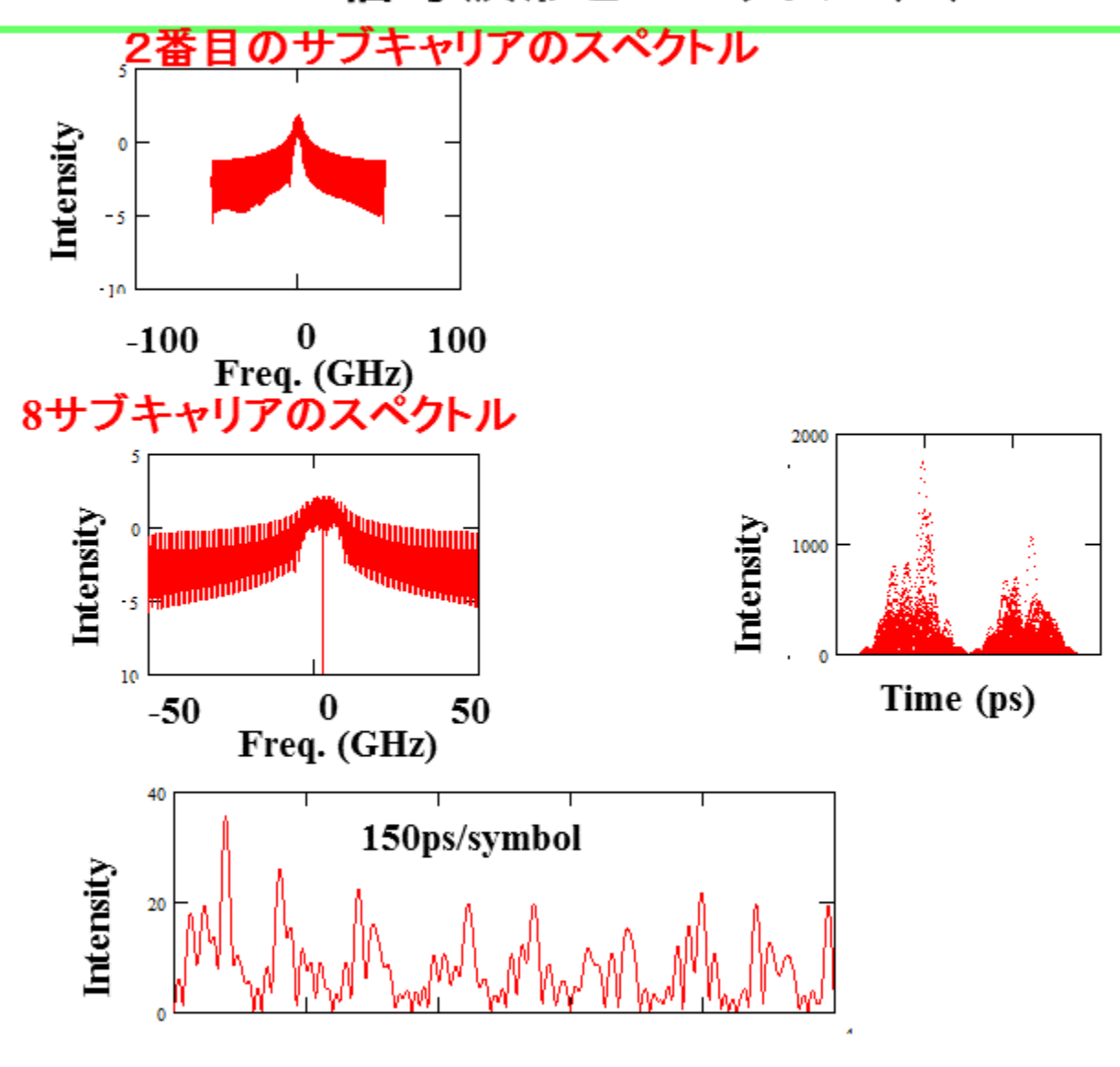


64QAMと仮定

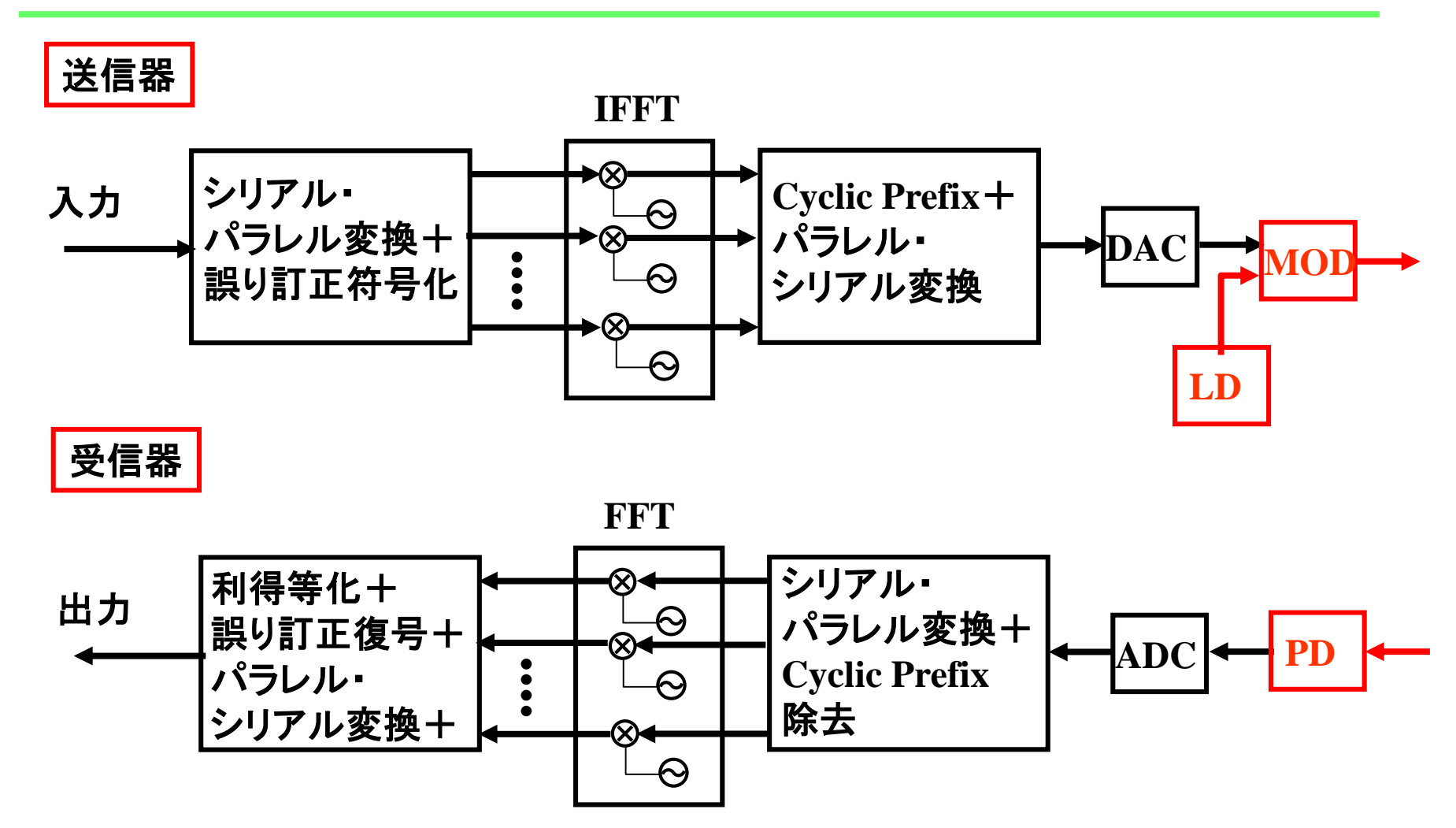


Time (ps)

OFDM信号波形とスペクトル(2)



OFDM伝送の送受信系



● 光デバイスへの要求条件:高い線形性(平均パワーの数倍のピークパワーまで)

OFDMの課題

Peak to Average Power Ratio (PAPR)が大きい

(例)モバイルWiMAXの仕様では振幅のダイナミックレンジは 振幅平均値の4~5倍必要



高い線形性・高い出力値が必須 ファイバ非線形歪みの影響

位相雑音に敏感



送受信器・LOへの位相安定性の要求

周波数オフセットに敏感



モバイル用途で重要(ドップラーシフトの影響)